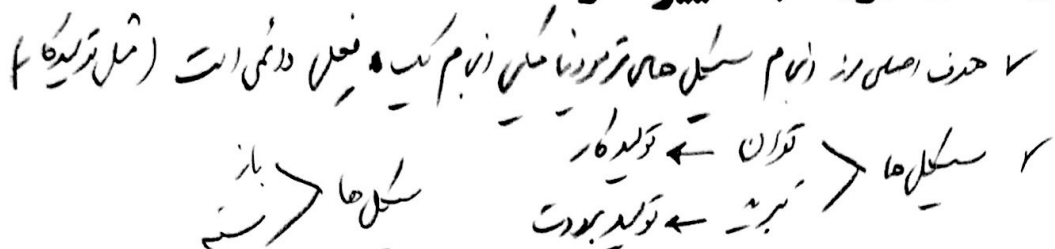


سیستم‌های توان و تبرید با تغییر فاز



بسیاری از نیروگاه‌ها از جمله نیروگاه‌های ساده‌ی بخار که چندین بار آنها را بررسی کرده‌ایم، در یک سیکل کار می‌کنند. یعنی سیال فعال یک رشته فرآیند را طی می‌کند و درنهایت به حالت اولیه باز می‌گردد. در سایر نیروگاه‌ها از قبیل موتورهای احتراقی داخلی و توربین گاز، اگرچه ممکن است موتور خود یک سیکل مکانیکی را طی کند ولی سیال فعال یک سیکل ترمودینامیکی را نخواهد پیمود. در این حالت، سیال فعال در خاتمه ترکیبی متفاوت یا حالتی متفاوت با لحظه‌ها شروع سیکل خواهد داشت. گاه گفته می‌شود که چنین تجهیزاتی در سیکل باز کار می‌کنند (که در این حالت استفاده از کلمه سیکل واقعاً بی‌مورد است)، در حالی که نیروگاه‌های بخار در یک سیکل بسته است. تفاوت بین سیکل‌های باز و بسته، ممکن است در رابطه با وسائل تبرید نیز وجود داشته باشد. در عین حال، برای هر دو نوع تجهیزات سیکل‌های باز و بسته، مفید است که عملکرد یک سیکل فرضی بسته را که شبیه به سیکل حقیقی است، تحلیل و بررسی کنیم. چنین روشهای بهویژه در تعیین آثار متغیرها بر عملکرد، بسیار مفید خواهد بود. برای مثال، موتور احتراقی داخلی - جرقه‌ای معمولاً با سیکل اتو تقریب زده می‌شود. از تحلیل سیکل اتو می‌توان نتیجه گرفت که افزایش نسبت تراکم، موجب افزایش کارآبی خواهد شد. اگرچه کارآبی سیکل اتو احتمالاً مغایرات اصلی با کارآییهای حقیقی دارد ولی این واقعیت برای موتورهای حقیقی نیز صادق است. در این فصل و فصل آینده سیکل‌های ایدآل برای دستگاه‌های تبرید و توانی مطرح می‌شود. این فصل بر سیستم‌هایی متمرکز است که تغییر فاز دارند یعنی در آنها از سیال عامل چگالنده استفاده می‌شود. در حالی که سیالات عامل گازی که تغییر فاز ندارند، در فصل ۱۲ مطرح می‌گردند. در هر دو فصل بر این نکته تأکید می‌شود که دستگاه‌های واقعی، فرایندها با حالت ایدآل تفاوت دارند. به اصلاحات خاص در سیکل‌های ایدآل نیز برای بهبود کارآبی و عملکرد توجه می‌شود. این بهبودها و اصلاحات شامل استفاده از وسائلی نظیر یخچال‌ها، کمپرسورهای چند مرحله‌ای منبسط‌کننده‌ها و سردکن‌های میانی می‌شود ترکیب‌های خاص انواع مختلف سیستم‌ها و کاربردهای خاص نظیر تولید همزمان انرژی و توان الکتریکی، سیکل‌های ترکیبی، سیکل‌های دوگانه و سایر موارد در این فصل‌ها و مسائل انتهایی فصل ارائه می‌شوند.

۱۱-۱ مقدمه سیستم‌های توانی

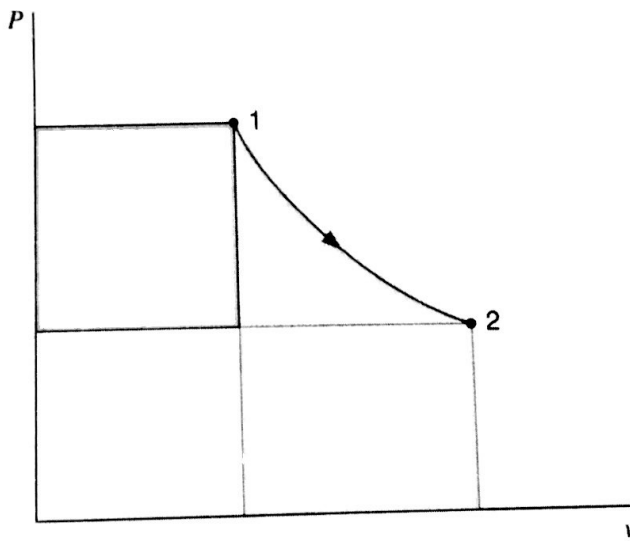
در معرفی قانون دوم ترمودینامیک در فصل ۷، موتورهای حرارتی سیکلی که دارای چهار فرآیند مجزا هستند را بررسی کردیم. در آن جا این نکته ذکر شد که می‌توان موتورهای حرارتی ای داشت که به صورت یک وسیله حالت پایدار که همراه با کار محور است (مطابق شکل ۷-۱۸) و یا جایگزین وسیله‌های سیلندر پیستون همراه با کار مرز متحرک (مطابق شکل ۷-۱۹) عمل کند. سیال فعال وسیله‌های دارای حالت پایدار ممکن است که در فرآیندهای سیکل در یک فاز باشدند یا تغییر فاز بدهند. در وسیله‌های سیلندر پیستونی معمولاً سیال فعال گازی شکل سرتاسر سیکل را می‌پیماید. در فرآیند حالت پایدار بازگشت پذیر که در آن تغییرات انرژی جنبشی و پتانسیل قابل اغماض باشد، کار محور به‌ازای واحد جرم توسط معادله (۹-۱۵) مشخص می‌شود:

$$w = - \int v dP$$

در فرآیند بازگشت پذیر یک ماده تراکم پذیر ساده، مقدار کار مرز متحرک به‌ازای واحد جرم با معادله (۴-۳) مشخص می‌شود:

$$w = \int P dv$$

در شکل (۱۱-۱) سطوح مربوط به دو انتگرال بالا مشاهده می‌شود. جالب است بدانیم که برای وسایل حالت پایدار وقتی فرآیند فشار ثابت باشد هیچ‌گونه کاری خواهیم داشت. همچنین در وسایل سیلندر پیستونی نیز در فرآیندهای حجم ثابت فاقد کار خواهیم بود.

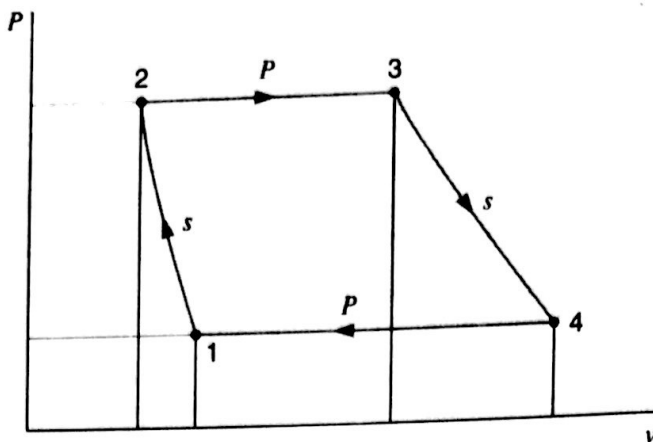


شکل ۱۱-۱ مقایسه کار محوری و کار مرز متحرک.

اکنون یک سیستم تولید توان که مطابق شکل (۷-۱۸) دارای چهار فرآیند حالت پایدار است را بررسی می‌کنیم. در این بررسی فرض خواهیم کرد هریک از فرآیندها ذاتاً بازگشت پذیر است و تغییرات انرژی جنبشی و پتانسیل آنها قابل اغماض باشد و درنتیجه کار هریک از فرآیندها با معادله (۹-۱۵) تعیین خواهد شد. برای سادگی عملیات فرض می‌کنیم هر دو فرآیند انتقال حرارت (در دیگر بخار و چگالنده) در فشار ثابت انجام می‌شوند و بنابراین همانند مبدل‌های حرارتی ساده بدون انجام هرگونه کار خواهند بود.

همچنین فرض می‌کنیم پمپ و توربین آدیباتیک باشند و بتوان فرآیندشان را ایزنتروپیک در نظر گرفت. بنابراین، فرآیندهای چهارگانه‌ی تشکیل‌دهنده سیکل مطابق شکل (۱۱-۲) خواهند بود. توجه شود که چنانچه تمام سیکل در ناحیه

دوفازی بخار - مایع انجام شود، چون فرآیندهای فشار ثابت به صورت همدما نیز خواهد بود، سیکل حاصل همان سیکل کارنو خواهد بود. در غیر این صورت سیکل حاصل، سیکل کارنو نخواهد بود.



شکل ۱۱-۲ سیکل تولید توان چهار فرآیندی.

در هر دو صورت مقدار کار خالص خروجی از این سیستم تولید توان عبارت است از:

$$w_{net} = - \int_1^2 v dP + 0 - \int_3^4 v dP + 0 = - \int_1^2 v dP + \int_4^3 v dP$$

و چون $P_1 = P_2 = P_3 = P_4$ باشد در می‌باییم که سیستم موردنظر تولید کار خالص خواهد کرد زیرا حجم مخصوص درطی فرآیند انبساط ۳ تا ۴ بزرگتر از مقدار آن درطی فرآیند تراکم ۱ تا ۲ است. این نتیجه را می‌توان از مشاهده مساحت‌های dp در شکل (۱۱-۲) نیز به دست آورد. اکنون می‌توان نتیجه گرفت که هر چه اختلاف حجم مخصوص‌ها بیشتر باشد (مثلاً اختلاف حجم مخصوص یک بخار با یک مایع) سیستم سودمندتر خواهد بود.

اگر سیکل چهار فرآیندی شکل (۱۱-۲) همراه با یک سیستم سیلندر پیستون مخصوص کار مرز متحرک شود، کار خالص خروجی این سیستم تولید توان از رابطه‌ی:

$$w_{net} = \int_1^2 P dv + \int_2^3 P dv + \int_3^4 P dv + \int_4^1 P dv$$

و یا از چهار سطح متناظر بالاترگاهای بالا که در شکل (۱۱-۲) نشان داده شده است، به دست خواهد آمد. یادآور می‌شویم که چون درازای هر تغییر حجم مشخص، مقدار فشار در دو فرآیند انبساط بزرگتر از مقدار آن در دو فرآیند تراکم است، بنابراین یک سطح خالص مثبت و یک کار خالص خروجی خواهیم داشت.

از شکل (۱۱-۲) در می‌باییم که برای هر دو وضعیت تحلیل شده‌ی بالا، کار خالص خروجی سیکل برابر با سطح محصور توسط خطوط فرآیندهای ۱-۲-۳-۴-۱ خواهد بود. اگرچه عبارات تشکیل‌دهنده کار برای فرآیندهای چهار گانه در دو وضعیت با یکدیگر تفاوت دارند ولی کار خالص آنها یکسان می‌باشد.

در این فصل ما دو حالت اول را مورد توجه قرار می‌دهیم یعنی فرایند جریان پایدار شامل کار محوری، استفاده از سیال عامل چگالیده‌شونده و فرآیندهای تراکم. در فصل ۱۲، سیستم‌هایی را بررسی خواهیم کرد که از سیال عامل گازی استفاده می‌کنند. در حالت جریان پایدار همراه با کار محوری و سیستم‌های سیلندر - پیستون که کار مرز متحرک در آنها وجود دارد، مورد توجه قرار می‌گیرند.

در چند بخش بعدی سیکل رنکین را بررسی خواهیم کرد که سیکل ایدآل متناظر با سیکل مشکل از چهار فرآیند حالت پایدار شکل (۱۱-۲) است. در سیکل رنکین از تغییر فاز بین بخار و مایع استفاده می‌شود تا اختلاف حجم مخصوص بین

فرآیندهای تراکم و انساط حداکثر شود. این سیکل، سیکل ایدآل برای سیستم نیروگاههای بخار است.

۱۱-۲ سیکل رنکین

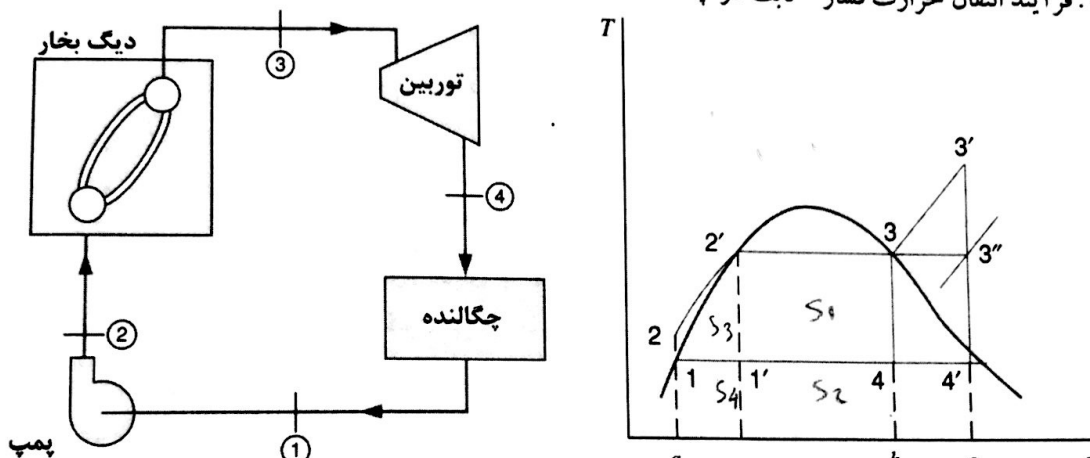
اکنون سیکل ایدآل شده دارای چهار فرآیند حالت پایدار شکل (۱۱-۲) را که در آن حالت ۱ مایع اشباع و حالت ۳ بخار اشباع یا بخار مافوق گرم است را بررسی می‌کنیم. این سیستم را سیکل رنکین می‌نامند و مدل نیروگاه ساده بخار آب است. مناسب است که حالت‌ها و فرآیندها را مطابق شکل (۱۱-۳) بر روی نمودار $T-s$ نشان دهیم. چهار فرآیند تشکیل دهنده سیکل عبارتند از:

۱-۱: فرآیند پمپ کردن آدیبااتیک بازگشت‌پذیر در پمپ

۲-۲: فرآیند انتقال حرارت فشار - ثابت در دیگ بخار

۳-۳: فرآیند انساط آدیبااتیک بازگشت‌پذیر در توربین (یا سایر محرک‌ها از قبیل موتور بخار)

۴-۴: فرآیند انتقال حرارت فشار - ثابت در چگالنده



شکل ۱۱-۳ نیروگاه ساده بخار که در سیکل رنکین کار می‌کند.

چنان‌که در بالا ذکر شد، سیکل رنکین می‌تواند شامل مافوق گرم کردن بخار به صورت سیکل ۱-۲-۳'-۴'-۱ نیز باشد. اگر از تغییرات انرژی جنبشی و پتانسیل صرف نظر شود، می‌توان انتقال حرارت و کار را با سطوح مختلف روی نمودار $T-s$ نشان داد. حرارت منتقل شده به سیال فعال با سطح $a-2'-2-3-b-a$ و حرارت انتقال یافته از آن با سطح $a-1-4-b-a$ نشان داده شده است. از قانون اول نتیجه می‌گیریم که سطح نشان‌دهنده کار برابر با اختلاف این دو سطح یعنی سطح $1-2'-3-4-1$ می‌باشد. کارآیی حرارتی با رابطه زیر تعریف می‌شود.

$$\eta_{th} = \frac{w_{net}}{q_H} = \frac{\text{area } 1-2-2'-3-4-1}{\text{area } a-2-2'-3-b-a} \quad (11-1)$$

در تحلیل سیکل رنکین مناسب است که کارآیی را براساس متوسط درجه حرارت تغذیه حرارت به سیکل و متوسط درجه حرارت دفع حرارت از سیکل، در نظر بگیریم. افزایش درجه حرارت متوسط تغذیه حرارت، باعث افزایش کارآیی سیکل رنکین می‌شود.

باید یادآور شد که در این فصل در هنگام تحلیل سیکل‌های ایدآل، از تغییرات انرژی جنبشی و پتانسیل از یک نقطه به نقطه دیگر سیکل، صرف نظر شده است. عموماً چنین فرضی در سیکل‌های حقیقی نیز معقول می‌باشد. به روشنی می‌بینیم که کارآیی سیکل رنکین، کمتر از کارآیی سیکل کارنوی است که حداقل و حداکثر درجه حرارت

$$\eta_{Carrot} = \frac{s_1}{s_1 + s_2}$$

$$\eta_{Rankin} = \frac{s_1 + s_3}{s_1 + s_2 + s_3 + s_4}$$

$$\eta_{Rankin} < \eta_{Carrot}$$

۱۱. سیستم‌های توان و تبرید با تغییر فاز ۴۰۷

آن همانند سیکل رنکین باشد، زیرا درجه حرارت متوسط بین ۲ و ۲' کمتر از درجه حرارت در حین تبخیر است. امکان دارد پرسید چرا سیکل رنکین به عنوان سیکل ایدآل انتخاب شده است؟ و چرا سیکل کارنو '۱-۲-۳-۴-۱' انتخاب نشده است؟ حداقل می‌توان دو دلیل ارائه کرد. اولین دلیل مربوط به فرآیند پمپ کردن است. در حالت ۱ مخلوطی از مایع و بخار وجود دارد و ساختمان پمپی که بتواند مخلوط مایع و بخار را در ۱ دریافت و مایع اشباع را در ۲ تخلیه کند، با مشکلات بزرگی مواجه خواهد بود. ساده‌تر است که بخار کاملاً چگالیده شود و پمپ فقط مایع را انتقال دهد و این واقعیتی است که سیکل رنکین بر آن بنا شده است.

دومن دلیل به مافوق گرم کردن بخار مربوط می‌شود. در سیکل رنکین درطی فرآیند '۳-۲-۱' بخار در فشار ثابت مافوق گرم می‌شود. در سیکل کارنو تمام انتقال حرارت در درجه حرارت ثابت صورت می‌گیرد و بنابراین بخار درطی فرآیند '۳-۲-۱' مافوق گرم خواهد شد. توجه شود که درطی این فرآیند، فشار افت می‌کند و این بدان معنی است که حرارت باید به بخار در حال انساط و تولید کار، انتقال یابد. در عمل، این انتقال حرارت نیز سیار مشکل است. بنابراین سیکل رنکین، سیکل ایدآلی است که در عمل می‌توان تقریب زد. در بخش‌های بعدی، تغییراتی را روی سیکل رنکین بررسی خواهیم کرد. که مارابه کارآبی سیکل کارنو نزدیکتر می‌کند.

قبل از بحث درمورد تأثیر متغیرها روی عملکرد سیکل رنکین، یک مثال ارائه می‌دهیم.

مثال ۱۱-۱

کارآبی یک سیکل رنکین را که در آن بخار آب به عنوان سیال فعال استفاده شده و فشار چگالنده 10 kPa می‌باشد، به دست آورید. فشار دیگر بخار MPa ۲ است و بخار آب در حالت اشباع از دیگر خارج می‌شود.

در حل مسائل سیکل رنکین فرض می‌کنیم که کار ورودی به پمپ در ازای هر کیلوگرم جریان سیال با w_p و حرارت دفع شده از سیال فعال در هر کیلوگرم جریان سیال با q_L نشان داده شود.

در حل این مسئله به ترتیب سطح کنترلی در اطراف پمپ، دیگر بخار، توربین و چگالنده درنظر می‌گیریم. در هر حال، مدل ترمودینامیکی جداول بخار است و فرآیند حالت پایدار با تغییرات قابل اغماض در انرژی‌های پتانسیل و جنبشی می‌باشد. ابتدا پمپ را درنظر بگیرید.

$$\eta_{pump} = \frac{w_{pump}}{q_H} = \frac{q_H - q_L}{q_H} = 1 - \frac{h_4 - h_1}{h_3 - h_2}$$

حجم کنترل: پمپ

حالت ورودی: P_1 معلوم، مایع اشباع با حالت ثابت

حالت خروجی: P_2 معلوم

تحلیل:

قانون اول: $(P_1, T_1) \rightarrow (P_2, T_2)$

قانون دوم:

و بنابراین:

$$w_p = h_2 - h_1$$

$$s_2 = s_1$$

$$h_2 - h_1 = \int_1^2 v dP$$

$$h_2 - h_1 = 10 \text{ kPa}$$

$$(P_1, T_1) \rightarrow (P_2, T_2)$$

حل:

با فرض تراکم ناپذیر بودن مایع:

$$w_p = v(P_2 - P_1) = (0.00101)(2000 - 10) = 2.0 \text{ kJ/kg}$$

$$h_2 = h_1 + w_p = 191.8 + 2.0 = 193.8 \text{ kJ/kg}$$

حجم کنترل: دیگر بخار

حالت ورودی: P_2 ، h_2 معلوم، حالت ثابتحالت خروجی: P_3 معلوم، بخاراشباع؛ حالت ثابت

تحلیل:

$$q_H = h_3 - h_2$$

قانون اول:

حل:

حجم کنترل: توربین

$$q_H = h_3 - h_2 = 2799.5 - 193.8 = 2605.7 \text{ kJ/kg}$$

↓

حالت ورودی: حالت ۳ معلوم (از مرحله قبل)

$$h_g @ 2 \text{ MPa}$$

حالت خروجی: P_4 معلوم

تحلیل:

$$w_t = h_3 - h_4$$

قانون اول:

$$s_3 = s_4$$

قانون دوم:

$$s_3 = s_g @ 2000 \text{ KPa}$$

حل:

می‌توانیم کیفیت در حالت ۴ را به صورت زیر محاسبه کنیم:

$$s_3 = s_4 = 6.3409 = 0.6493 + x_4 7.5009, \quad x_4 = 0.7588$$

$$h_4 = 191.8 + 0.7588(2392.8) = 2007.5 \text{ kJ/kg}$$

$$w_t = 2799.5 - 2007.5 = 792.0 \text{ kJ/kg}$$

$$10 \text{ kPa} \left\{ \begin{array}{l} s_f = 0.6493 \\ s_g = 7.5009 \end{array} \right.$$

حجم کنترل: چگالندگی ρ_4 کوچک است $s_f > s_3$

حالت ورودی: حالت ۴ معلوم (از مرحله قبل)

حالت خروجی: حالت ۱ معلوم (از مراحل قبلی)

تحلیل:

$$q_L = h_4 - h_1$$

قانون اول:

حل:

حال می‌توانیم کارآبی حرارتی را محاسبه کنیم:

$$q_L = h_4 - h_1 = 2007.5 - 191.8 = 1815.7 \text{ kJ/kg}$$

همچنین می‌توان عبارتی برای کارآبی حرارتی بر حسب خواص در نقاط مختلف سیکل نوشت:

$$\eta_{th} = \frac{w_{net}}{q_H} = \frac{q_H - q_L}{q_H} = \frac{w_t - w_p}{q_H} = \frac{792.0 - 2.0}{2605.7} = 30.3\%$$

$$\eta_{th} = \frac{(h_3 - h_2) - (h_4 - h_1)}{h_3 - h_2} = \frac{(h_3 - h_4) - (h_2 - h_1)}{h_3 - h_2}$$

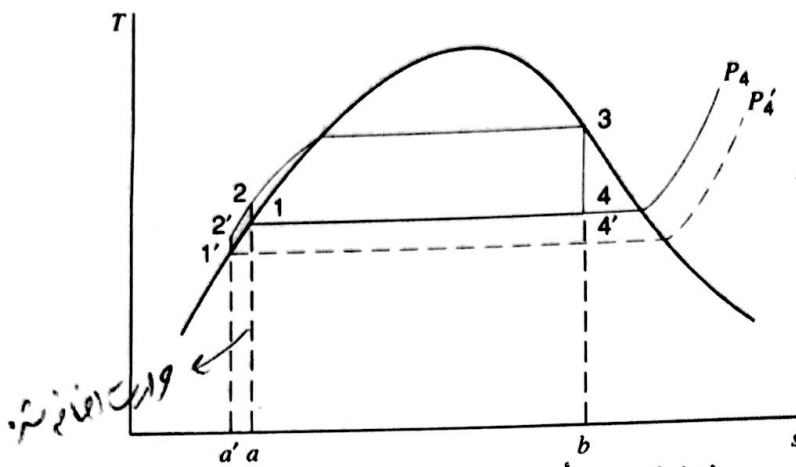
$$= \frac{2605.7 - 1815.7}{2605.7} = \frac{792.0 - 2.0}{2605.7} = 30.3\%$$

۱۱-۳ تأثیر فشار و درجه حرارت بر سیکل دنکین

ابتداء، اثر فشار و درجه حرارت خروجی را بر سیکل دنکین بررسی می‌کنیم. این اثر در شکل (۱۱-۴) روی نمودار $T-s$ نشان داده شده است. فرض کنید که فشار خروجی از P_4 به P_4' افت کند و همراه با آن، درجه حرارتی که حرارت در آن دفع می‌گردد، نیز کاهش یابد. کار خالص به اندازه سطح ۱-۲'-۲-۱ (سطح هاشور خورده) افزایش خواهد یافت.

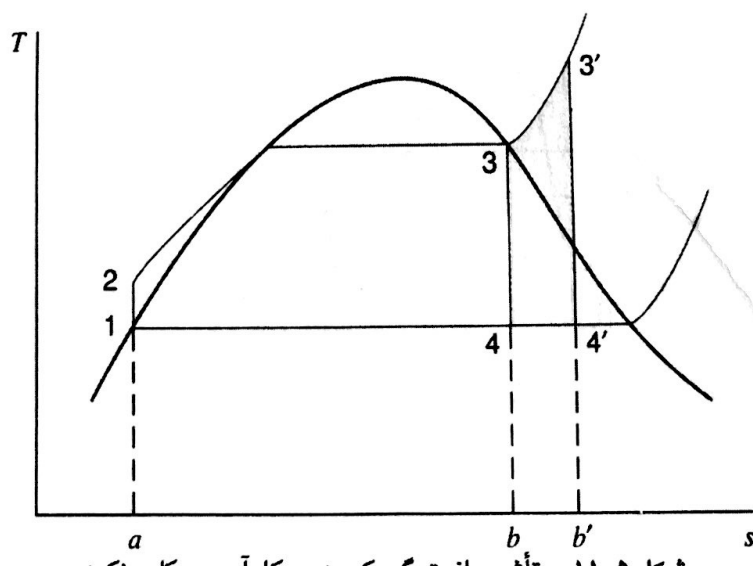
۱۱. سیستم‌های توان و تبرید با تغییر فاز ۴۰۹

حرارت منتقل شده به بخار آب نیز به اندازه سطح $a'-2'-2-a'$ افزایش می‌یابد. چون این دو مساحت تقریباً برابر هستند، نتیجه خالص آن افزایش کارآبی سیکل خواهد بود. همچنین این واقعیت به روشنی مشهود است که درجه حرارت متوسط دفع حرارت از سیکل، کاهش یافته است. در عین حال توجه شود که پایین آمدن پس‌شار، موجب افزایش محنتی رطوبت بخار آب خروجی از توربین خواهد شد. این عاملی بسیار مهم است زیرا اگر رطوبت در طبقات فشار پایین توربین از ۱۰ درصد تجاوز کند، نه تنها کارآبی توربین کاهش می‌یابد بلکه سایش تیغه‌های توربین نیز می‌تواند مسائلی بسیار جدی باشد.



شکل ۱۱-۴ تأثیر فشار تخلیه بر کارآبی سیکل رنکین.

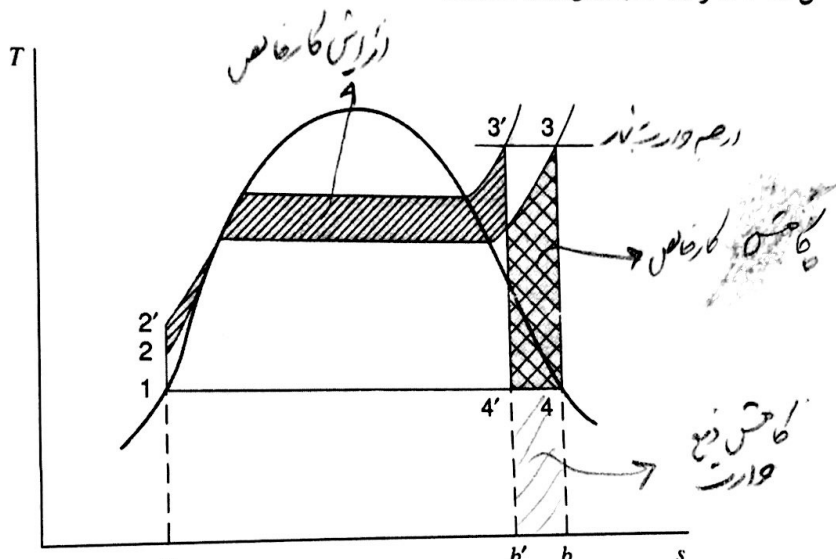
اکنون، اثر مافوق گرم کردن بخار آب در دیگ بخار را که در شکل (۱۱-۵) نشان داده شده است، در نظر بگیرید. به روشنی دیده می‌شود که مقدار کار به اندازه سطح $3'-4'-4-3$ و مقدار حرارت منتقل شده در دیگ بخار به اندازه سطح $3-3'-b-b'$ افزایش خواهد یافت. چون نسبت این دو سطح، از نسبت کار خالص به حرارت منتقل شده در بقیه سیکل بیشتر است واضح است برای یک فشار خاص، مافوق گرم کردن بخار آب موجب افزایش کارآبی سیکل رنکین می‌گردد. این افزایش کارآبی از این واقعیت نیز مشهود است که درجه حرارت متوسط تغذیه‌ی حرارت به بخار آب، افزایش یافته است. همچنین دقت شود که وقتی بخار آب مافوق گرم می‌شود، کیفیت بخار آب خروجی از توربین نیز افزایش خواهد یافت.



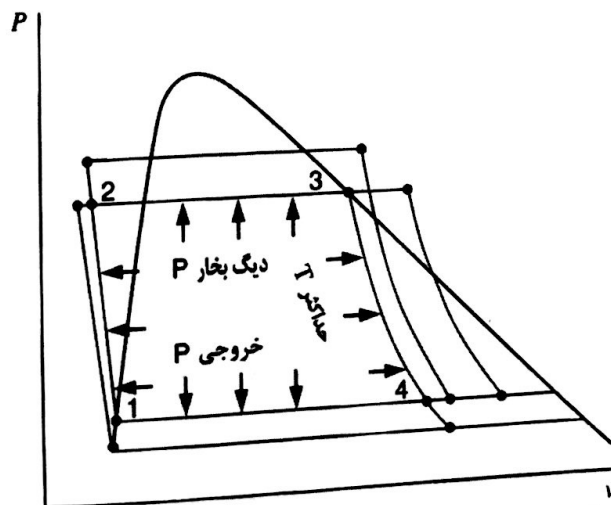
شکل ۱۱-۵ تأثیر مافوق گرم کردن بر کارآبی سیکل رنکین.

در خاتمه باید اثر حداکثر فشار بخار آب که در شکل (۱۱-۶) نشان داده شده است را نیز بررسی کرد. در این تحلیل، حد اکثر درجه حرارت بخار و نیز فشار خروجی آن ثابت نگاه داشته می‌شود. حرارت دفع شده به اندازه سطح $b'-b$ کاهش می‌باشد. کار خالص به اندازه سطحی که یک هاشرور خورده است، افزایش یافته و به اندازه سطحی که دو هاشرور خورده است، کاهش خواهد یافت. بنابراین کار خالص تعابیل به ثابت ماندن دارد ولی حرارت دفع شده، کاهش می‌باشد و بنابراین کارآبی سیکل رنکین به دلیل افزایش حداکثر فشار، افزایش خواهد یافت. توجه شود که در این حالت، درجه حرارت متوسط تغذیه حرارت همراه با فشار مربوطه، افزایش می‌باشد. همچنان با افزایش حداکثر فشار، کیفیت بخار آب خروجی از توربین نیز کاهش خواهد یافت.

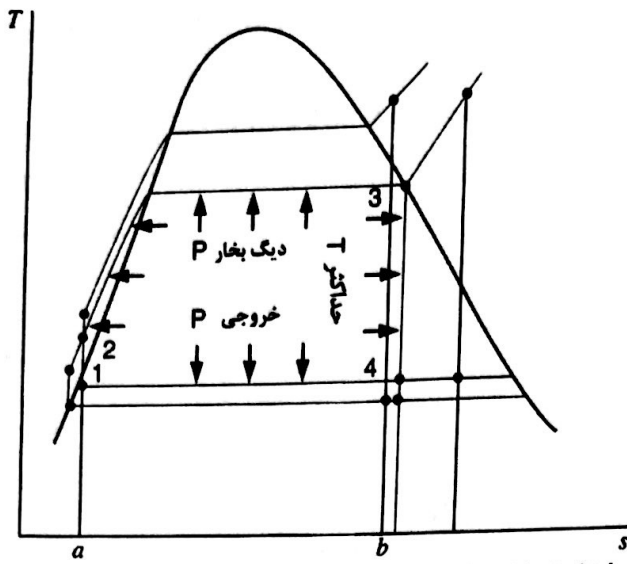
برای خلاصه کردن این بخش می‌توان گفت که کارآبی سیکل رنکین می‌تواند با پایین آوردن فشار خروجی، افزایش فشار در طی افزودن حرارت، و موفق گرم کردن بخار افزایش یابد. کیفیت بخار آب خروجی از توربین با موفق گرم کردن بخار آب افزایش و با پایین آوردن فشار خروجی و افزایش فشاری که طی آن حرارت افزوده می‌شود، کاهش خواهد یافت. این اثرات در شکل (۱۱-۷) و (۱۱-۸) نشان داده شده‌اند.



شکل ۱۱-۶ تأثیر فشار دیگ بخار بر کارآبی سیکل رنکین.



شکل ۱۱-۷ اثر فشار و درجه حرارت بر کار سیکل رنکین.



شکل ۱۱-۸ اثر فشار و درجه حرارت بر کارآبی سیکل رنکین.

در ارتباط با این الزامات، به این نکته توجه می‌کنیم که سیکل‌های مدل سازی شده با چهار فرایند معلوم (دو فرایند هم فشار و دو فرایند ایزنتروپیک) بین چهار حالت، هشت خاصیت داریم. با فرض اینکه حالت ۱ مایع اشباع است ($x_1=0$) سه پارامتر (۸-۴۱) را برای تعیین باید در نظر بگیریم. شرایط عملیاتی از نظر فیزیکی با فشار بالای تولید شده توسط پمپ $P_2=P_3$ مأمور گر ماشدن تا T_3 یا $x_3=1$ (اگر چیزی وجود نداشته باشد) و درجه حرارت چگالنده T_1 و کنترل می‌شوند که نتیجه انتقال حرارتی است که رخ می‌دهد.

مثال ۱۱-۲ در یک سیکل رنکین، بخار آب در 4 MPa و 250°C از دیگ بخار خارج و وارد توربین می‌شود. فشار چگالنده 10 kPa است. کارآبی سیکل را تعیین کنید.

برای تعیین کارآبی سیکل، باید کار توربین، کار پمپ، و حرارت منتقل شده به بخار آب در دیگ بخار را محاسبه کرد. برای انجام این کار در اطراف هر یک از اجزاء یک سطح کنترل در نظر می‌گیریم. در هر حالت مبنای ترمودینامیکی جداول بخار آب است و فرآیندها حالت پایدار با تغییرات قابل اغماض انرژی جنبشی و پتانسیل هستند.

حجم کنترل: پمپ
حالت ورودی: P_1 معلوم، مایع اشباع، حالت ثابت

حالت خروجی: P_2 معلوم
تحلیل:

$$w_p = h_2 - h_1$$

$$s_2 = s_1$$

قانون اول:

قانون دوم:

$$s_2 = s_1$$

$$h_2 - h_1 = \int_1^2 v dP = v(P_2 - P_1)$$

حل:
حجم کنترل: توربین

$$w_p = v(P_2 - P_1) = (0.00101)(4000 - 10) = 4.0 \text{ kJ/kg}$$

$$h_1 = 191.8 \text{ kJ/kg} \quad h_f @ p = 10 \text{ kPa}$$

$$h_2 = 191.8 + 4.0 = 195.8 \text{ kJ/kg}$$

حالت ورودی: P_3 و T_3 معلوم، حالت ثابتحالت خروجی: P_4 معلوم

تحلیل:

قانون اول:

قانون دوم:

حل:

حجم کنترل: دیگ بخار

$$h_3 = 3213.6 \text{ kJ/kg}, \quad s_3 = 6.7690 \text{ kJ/kg K}$$

$$s_3 = s_4 = 6.7690 = 0.6493 + x_4 7.5009, \quad x_4 = 0.8159$$

$$h_4 = 191.8 + 0.8159(2392.8) = 2144.1 \text{ kJ/kg}$$

$$w_t = h_3 - h_4 = 3213.6 - 2144.1 = 1069.5 \text{ kJ/kg}$$

$$w_{net} = w_t - w_p = 1069.5 - 4.0 = 1065.5 \text{ kJ/kg}$$

حالت ورودی: P_2 و h_2 معلوم، حالت ثابت

حالت خروجی: حالت 3 مشخص (از مرحله قبل)

تحلیل:

قانون اول:

حل:

$$q_H = h_3 - h_2$$

$$q_H = h_3 - h_2 = 3213.6 - 195.8 = 3017.8 \text{ kJ/kg}$$

$$\eta_{th} = \frac{w_{net}}{q_H} = \frac{1065.5}{3017.8} = 35.3\%$$

با محاسبه حرارت دفع شده از چگالنده (q_L) و با توجه به این که (از قانون اول) کار خالص برای سیکل برابر با انتقال حرارت خالص است نیز می‌توان کار خالص را تعیین کرد. یک سطح کنترل در اطراف چگالنده درنظر بگیرید، داریم:

$$h_2 - h_1 = \int_1^2 v dP = v(P_2 - P_1)$$

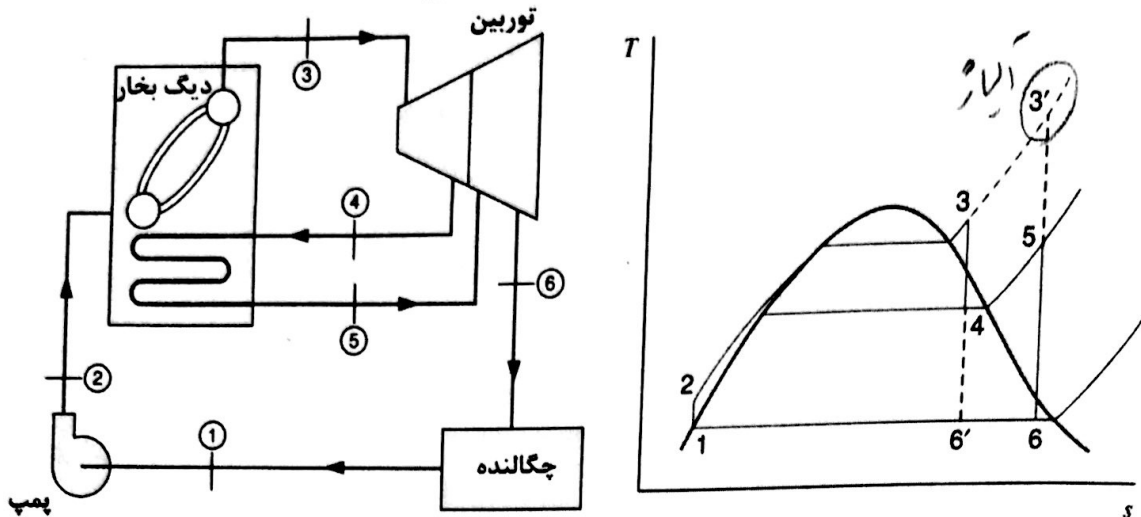
بنابراین:

$$w_{net} = q_H - q_L = 3017.8 - 1952.3 = 1065.5 \text{ kJ/kg}$$

۱۱-۴ سیکل گرمایش مجدد

در بخش قبل یاد آور شدیم که کارآبی سیکل رنکین می‌تواند با افزایش فشار در طی فرآیند افزودن حرارت، افزایش یابد. در عین حال این امر می‌تواند موجب افزایش محتوی رطوبت بخار آب در طبقات انتهایی فشار پایین گردد. سیکل گرمایش مجدد به سبب این مزیت ابداع شده که کارآبی سیکل را در فشارهای بالاتر، افزایش دهد و از رطوبت زیاد در طبقات فشار پایین توربین جلوگیری کند. طرحواره این سیکل و نیز نمودار $T-s$ آن در شکل (۱۱-۹) نشان داده شده است. ویژگی منحصر به فرد این سیکل آن است که بخار آب تا فشار میانی خاصی در توربین ابساط می‌یابد و سپس در دیگ بخار گرم می‌شود و بعد از آن در توربین تا فشار خروجی منبسط می‌گردد. از نمودار $T-s$ مشهود است که چون درجه حرارت متوسط

افزودن گرما به سیکل تغییر زیادی نمی‌کند، افزایش کارآبی در اثر گرمایش مجدد بسیار کم خواهد بود. مزیت اصلی این سیکل آن است که محتوی رطوبت در طبقات فشار پایین توربین تاحد مطمئنی کاهش می‌یابد. باید توجه داشت که چنانچه فلزی یافت شود که بتواند مافوق گرم کردن بخار آب تا ۳ را تحمل کند، سیکل ساده رنکین کارآبی بیشتری از سیکل گرمایش مجدد خواهد داشت و اختیاری به سیکل گرمایش مجدد نخواهد بود.



شکل ۱۱-۹ سیکل ایدآل گرمایش مجدد.

مثال ۱۱-۳

یک سیکل گرمایش مجدد را در نظر بگیرید که در آن از بخار آب استفاده شده است. بخار آب در 400°C و 4 MPa از دیگ بخار خارج و وارد توربین می‌شود. بعد از انبساط بخار آب تا فشار 400 kPa در توربین، بخار آب مجددتا 400°C گرم می‌شود و سپس در توربین فشار پایین تا فشار 10 kPa منبسط می‌گردد. کارآبی سیکل را به دست آورید.

برای هر حجم کنترلی که تحلیل می‌کنیم مدل ترمودینامیکی جداول بخار، فرایند حالت پایدار و تغییرات انرژی‌های جنبشی و پتانسیل قابل اغماض است.

حجم کنترل: توربین فشار بالا

حالت ورودی: ۳ و T_3 معلوم، حالت ثابت

حالت خروجی: P_4 معلوم

تحلیل:

قانون اول:

قانون دوم:

حل:

حجم کنترل:

$$w_{h-p} = h_3 - h_4$$

$$s_3 = s_4$$

$$h_3 = 3213.6, \quad s_3 = 6.7690$$

$$s_4 = s_3 = 6.7690 = 1.7766 + x_4 5.1193, \quad x_4 = 0.9752$$

$$h_4 = 604.7 + 0.9752(2133.8) = 2685.6$$

توربین فشار پایین

حالت ورودی: P_5 و T_5 معلوم، حالت ثابت

حالت خروجی: P_6 معلوم

تحلیل:

قانون اول:

قانون دوم:

حل:

$$h_5 = 3273.4 \quad s_5 = 7.8985$$

$$s_6 = s_5 = 7.8985 = 0.6493 + x_6 7.5009, \quad x_6 = 0.9664$$

$$h_6 = 191.8 + 0.9664(2392.8) = 2504.3$$

برای کل توربین، کل کار خروجی w_t حاصل جمع w_{hp} و w_{lp} است به طوری که:

$$\begin{aligned} w_t &= (h_3 - h_4) + (h_5 - h_6) \\ &= (3213.6 - 2685.6) + (3273.4 - 2504.3) \\ &= 1297.1 \text{ kJ/kg} \end{aligned}$$

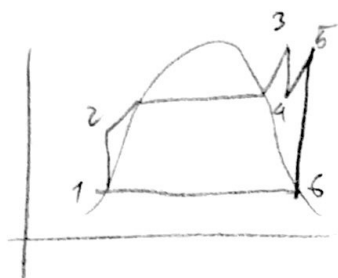
حجم کنترل: پمپ

حالت ورودی: P_1 معلوم، مایع اشباع، حالت ثابتحالت خروجی: P_2 معلوم

تحلیل:

قانون اول:

قانون دوم:

چون $s_2 = s_1$ 

$$w_p = h_2 - h_1$$

$$s_2 = s_1$$

حل:

حجم کنترل: دیگ بخار

حالت ورودی: حالت 2 و 4 هر دو معلوم (از مراحل قبل)

حالت خروجی: حالت 3 و 5 هر دو معلوم (از مراحل قبل)

تحلیل:

قانون اول:

حل:

$$q_H = (h_3 - h_2) + (h_5 - h_4)$$

$$q_H = (h_3 - h_2) + (h_5 - h_4)$$

$$= (3213.6 - 195.8) + (3273.4 - 2685.6) = 3605.6 \text{ kJ/kg}$$

بنابراین:

$$w_{\text{net}} = w_t - w_p = 1297.1 - 4.0 = 1293.1 \text{ kJ/kg}$$

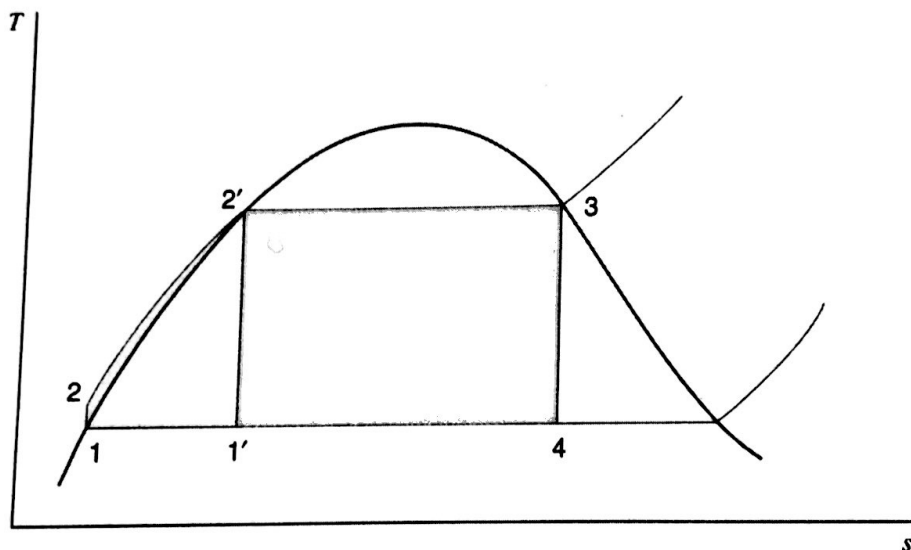
$$\eta_{\text{th}} = \frac{w_{\text{net}}}{q_H} = \frac{1293.1}{3605.6} = 35.9\%$$

با مقایسه این مثال با مثال (۱۱-۲) مشاهده می شود که افزایش کارآیی در اثر گرمایش مجدد نسبتاً اندک است ولی محتوی رطوبت در خروجی از توربین در اثر گرمایش مجدد از ۱۸.۴ درصد به ۳.۴ درصد کاهش یافته است.

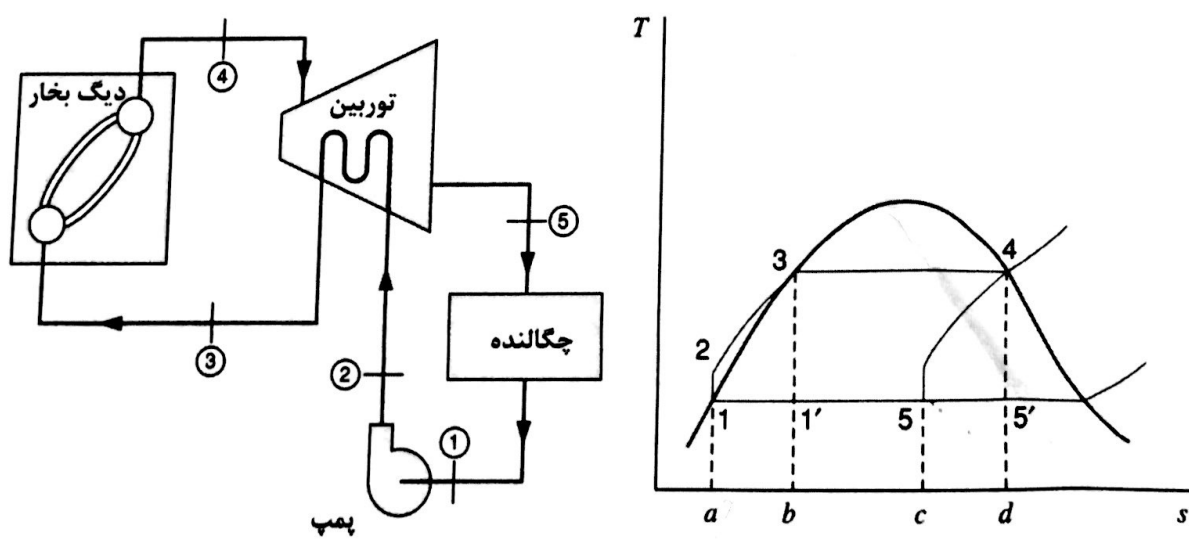
۱۱-۵ سیکل بازیاب

شکل مهم دیگری از سیکل رنکین، سیکل بازیاب است که در آن از گرمکن‌های آب تغذیه استفاده می‌شود. معاهیم اصلی این سیکل را می‌توان مطابق شکل (۱۱-۱۰) با بررسی سیکل رنکین بدون مافوق گرم‌کن، نشان داد. در طی فرآیند بین حالات ۲ و ۲'، سیال فعال در فاز مایع گرم می‌شود و درجه حرارت متوسط سیال فعال در این فرآیند، بسیار کمتر از درجه حرارت متوسط آن در فرآیند تبخیر ۳' می‌باشد. فرآیند بین حالات ۲ و ۲' باعث می‌شود که درجه حرارت متوسط تغذیه حرارت به سیکل، کمتر از سیکل کارنوی ۱'-۳'-۴'-۲' باشد و در نتیجه، کارآیی سیکل رنکین کمتر از سیکل کارنوی مشابه می‌باشد. در سیکل بازیاب، سیال فعال در حالتی بین ۲ و ۲' وارد دیگر بخار می‌شود و در نتیجه درجه حرارت متوسط تغذیه حرارت بیشتر خواهد بود.

ابتدا سیکل بازیاب ایدآل را که در شکل (۱۱-۱۱) نشان داده شده است در نظر بگیرید. ویژگی منحصر به فرد این سیکل در مقایسه با سیکل رنکین آن است که بعد از خروج سیال از پمپ، مایع در اطراف پوستهٔ توربین و در خلاف جهت جریان بخار توربین، گردش می‌یابد.



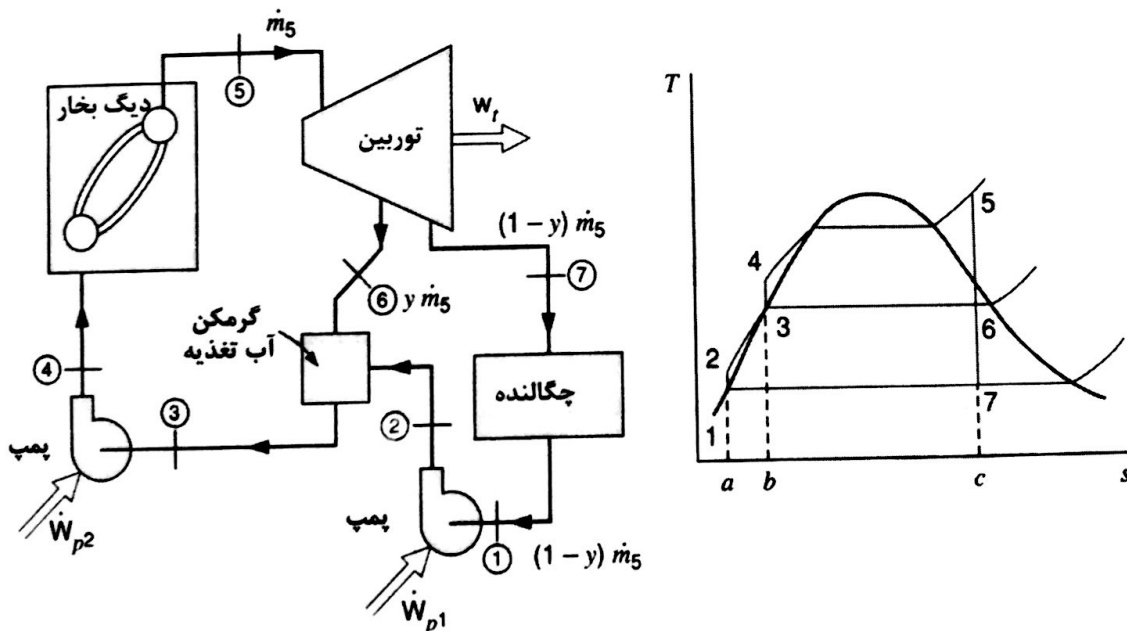
شکل ۱۱-۱۰ نمودار درجه حرارت - انتروپی نمایانگر ارتباط بین کارآیی سیکل کارنو و کارآیی سیکل رنکین.



شکل ۱۱-۱۱ سیکل ایدآل بازیاب.

بنابراین، امکان دارد که از بخاری که در حال جریان در توربین در توربین جریان دارد انتقال پابد. در این مرحله فرض می‌کنیم که انتقال حرارت به صورت بازگشت‌پذیر است. یعنی درجه حرارت بخار در هر نقطه فقط به مقدار سیار ناچیزی از درجه حرارت مایع بیشتر است. در این حالت خط ۵-۴ در نمودار $T-s$ شکل (۱۱-۱۱) که نمایانگر حالت‌های جریان بخار عبوری از توربین می‌باشد، دقیقاً موازی با خط ۳-۲-۳-b-a-2 و ۲-3-b-a-2 و ۵-4-d-c-5 که نشان‌دهنده فرآیند پمپ کردن (۱-۲) و حالت‌های جریان مایع در اطراف توربین است، خواهد بود. درنتیجه سطوح ۲-3-b-a-2 و ۵-4-d-c-5 نه تنها برابرند بلکه متناسب نیز می‌باشند. این سطوح به ترتیب نمایانگر حرارت منتقل شده به مایع و حرارت انتقال یافته از بخار هستند. همچنین، حرارت منتقل شده به سیال فعال در فرآیند ۳-۴ به صورت درجه حرارت ثابت صورت می‌گیرد و سطح ۳-4-d-b-3 نمایانگر این انتقال حرارت است. حرارت از سیال فعال در فرآیند ۱-۵ انتقال می‌باشد و سطح ۱-۵-c-a-1 نشان‌دهنده این انتقال حرارت است. این سطح دقیقاً با سطح ۱'-۵'-d-b-1' که نشان‌دهنده حرارت دفع شده در سیکل کارنو (۱'-۳-۴-۵-۱') مربوط است، برابر می‌باشد. بنابراین کارآیی سیکل بازیاب ایدآل دقیقاً برابر با کارآیی سیکل کارنوی است که همان درجه حرارت تغذیه حرارت و دفع حرارت را دارا باشد.

کاملاً واضح است که سیکل بازیاب ایدآل، عملی نیست. نخست این که، امکان انتقال حرارت لازم از بخار آب موجود در توربین به آب تغذیه وجود ندارد. دیگر این که به علت انتقال حرارت، محتوی رطوبت بخار خروجی از توربین به مقدار قابل ملاحظه‌ای افزایش خواهد یافت که معاوی این امر قبلًاً خاطرنشان شد. سیکل بازیاب عملی، همراه با برداشت مقداری بخار بعد از انبساط جزئی در توربین است و از این بخار برای گرمکن‌های آب تغذیه مطابق شکل (۱۱-۱۲) استفاده می‌شود.



شکل ۱۱-۱۲ سیکل بازیاب با گرمکن باز آب تغذیه.

بخار آب در حالت ۵ وارد توربین می‌شود و بعد از انبساط تا حالت ۶، مقداری از بخار برداشت و وارد گرمکن آب تغذیه می‌گردد. آن مقدار از بخار آب که برداشت نشده است در توربین تا حالت ۷ انبساط می‌باشد و سپس در چگالنده، چگالیده می‌شود. سپس مایع چگالیده شده به داخل گرمکن آب تغذیه پمپ می‌شود و در آنجا با بخار برداشته از توربین مخلوط می‌گردد. درصد بخار آبی که برداشت می‌شود دقیقاً به مقداری است که موجب شود مایع خروجی از گرمکن آب تغذیه در نقطه ۳ به صورت اشباع درآید. توجه شود که مایع تا فشار دیگ بخار، پمپ نمی‌شود بلکه فقط تا فشار میانی مربوط به حالت ۶ پمپ خواهد شد. پمپ دیگری لازم است تا فشار مایع خروجی از گرمکن آب تغذیه را تا فشار دیگ بخار برساند. نکته

مهم این که در این سیکل درجه حرارت متوسط تغذیه حرارت به سیال، افزایش یافته است.
یک حجم کنترل اطراف گرمکن باز آب تغذیه در شکل (۱۱-۱۲) در نظر بگیرید. طبق بقای انرژی داریم:

$$\dot{m}_2 + \dot{m}_6 = \dot{m}_3$$

از طرفی با توجه به مقدار بخار برداشت شده از توربین برای گرمکن خواهیم داشت:

$$y = \dot{m}_6 / \dot{m}_5 \quad (11-2)$$

بنابراین:

$$\dot{m}_7 = (1 - y)\dot{m}_5 = \dot{m}_1 = \dot{m}_2$$

معادله انرژی بدون انتقال حرارت خارجی و کار عبارت است از:

$$\dot{m}_2 h_2 + \dot{m}_6 h_6 = \dot{m}_3 h_3 \quad (11-3)$$

با قراردادن دبی جرمی به صورت $\dot{m}_3 = \dot{m}_5$ در معادله بالا خواهیم داشت:

$$(1 - y)\dot{m}_5 h_2 + y\dot{m}_5 h_6 = \dot{m}_5 h_3 \quad (11-4)$$

حالت ۳ را به عنوان حد مابع اشباع (نمی‌خواهیم وارد ناحیه دوفازی شویم و پمپ P_2 صدمه بیند) در نظر می‌گیریم و با حل معادله بالا برای x داریم:

$$y = \frac{h_3 - h_2}{h_6 - h_2} \quad (11-5)$$

معادله بالا حداکثر مقدار برداشت که می‌توان در فشار موردنظر انجام داد را مشخص می‌کند.
نمایش این سیکل در نمودار $T-s$ کمی مشکل است زیرا دبی جریان جرمی بخار که از اجزای مختلف عبور می‌کند،
متفاوت است. نمودار $T-s$ شکل (۱۱-۱۲) حالت سیال در نقاط مختلف را به روشنی نشان می‌دهد.

سطح ۴-۵-۶-۷ در شکل (۱۱-۱۲) نمایانگر گرمای انتقال یافته، در هر کیلوگرم سیال فعال است. فرآیند ۱-۷-۶-۵ دفع حرارت است و چون تمامی بخار آب از چگالنده عبور نمی‌کند، سطح ۱-۷-۶-۵ نمایانگر انتقال حرارت در هر کیلوگرم جریان عبوری از چگالنده است ولی نشان‌دهنده انتقال حرارت در هر کیلوگرم سیال فعال وارد شده به توربین نخواهد بود.
دقیق شود که بین حالت‌های ۶ و ۷ فقط بخشی از بخار از درون توربین عبور می‌کند. مثال بعد نشان‌دهنده محاسبات مربوط به سیکل بازیاب است.

مثال ۱۱-۴

سیکل بازیابی را در نظر بگیرید که در آن از بخار آب به عنوان سیال فعال استفاده شده است. بخار آب در 400°C و 4 MPa دیگر بخار خارج و وارد توربین می‌شود. بعد از انبساط بخار تا 400 kPa مقداری از آن به منظور گرم کردن آب تغذیه در یک گرمکن آب تغذیه نوع باز، از توربین برداشت می‌شود. فشار گرمکن آب تغذیه 400 kPa است و آب در حالت مابع اشباع در 400 kPa از آن خارج می‌شود. بخار آب برداشت نشده از توربین تا فشار 10 kPa انبساط می‌یابد. کارآیی سیکل را تعیین کنید.

نمودار خطی و نمودار $T-s$ این سیکل در شکل (۱۱-۱۲) نشان داده شده است.

$$h_5 = 3213.6 \quad h_6 = 2685.6$$

$$h_7 = 2144.1 \quad h_1 = 191.8$$

همانند مثال‌های قبلی، برای هر حجم کنترل مدل جداول بخار آب، فرآیند حالت پایدار و تغییرات انرژی جنبشی و پتانسیل ناچیز است.

از مثال‌های (۱۱-۲) و (۱۱-۳) خواص زیر را در اختیار داریم:

حجم کنترل: پمپ فشار پایین

حالت ورودی: P_1 معلوم، مایع اشباع، حالت ثابت

حالت خروجی: P_2 معلوم

تحلیل:

$$w_{p1} = h_2 - h_1 \quad \text{قانون اول:}$$

$$s_2 = s_1 \quad \text{قانون دوم:}$$

بنابراین:

$$h_2 - h_1 = \int_1^2 v dP = v(P_2 - P_1) \quad \text{حل:}$$

$$w_{p1} = v(P_2 - P_1) = (0.00101)(400 - 10) = 0.4 \text{ kJ/kg}$$

$$h_2 = h_1 + w_p = 191.8 + 0.4 = 192.2 \quad \text{حجم کنترل:}$$

برای توربین

حالت اول: P_5, P_6 معلوم، حالت ثابت

حالت دوم: P_6, P_7 معلوم

تحلیل:

$$w_t = (h_5 - h_6) + (1 - y)(h_6 - h_7) \quad \text{قانون اول:}$$

$$s_5 = s_6 = s_7 \quad \text{قانون دوم:}$$

حل:

از قانون دوم، مقادیر h_6, h_7 قبلاً در مثال‌های (۱۱-۲) و (۱۱-۳) محاسبه شد.

حجم کنترل: گرمکن آب تغذیه

حالت ورودی، حالت 2 و 6 معلوم، (از مراحل قبل)

حالت خروجی: P_3 معلوم، مایع اشباع، حالت ثابت

تحلیل:

$$y(h_6) + (1 - y)h_2 = h_3 \quad \text{قانون اول:}$$

حل:

$$y(2685.6) + (1 - y)(192.2) = 604.7$$

$$y = 0.1654$$

می‌توانیم کار توربین را محاسبه کنیم:

$$\begin{aligned} w_t &= (h_5 - h_6) + (1 - y)(h_6 - h_7) \\ &= (3213.6 - 2685.6) + (1 - 0.1654)(2685.6 - 2144.1) \\ &= 979.9 \text{ kJ/kg} \end{aligned}$$

حجم کنترل: پمپ فشار بالا

حالت ورودی: حالت 3 معلوم (از مراحل قبل)

حالت خروجی: P_4 معلوم

تحلیل:

قانون اول:

قانون دوم:

حل:

$$w_{p2} = h_4 - h_3$$

$$s_4 = s_3$$

$$w_{p2} = v(P_4 - P_3) = (0.001084)(4000 - 400) = 3.9 \text{ kJ/kg}$$

$$h_4 = h_3 + w_{p2} = 604.7 + 3.9 = 608.6$$

بنابراین:

$$\begin{aligned} w_{net} &= w_t - (1 - y)w_{p1} - w_{p2} \\ &= 979.9 - (1 - 0.1654)(0.4) - 3.9 = 975.7 \text{ kJ/kg} \end{aligned}$$

حجم کترل: دیگ بخار

حالت ورودی: P_4 ، h_4 معلوم، حالت ثابت

حالت خروجی: حالت ۵ معلوم

تحلیل:

قانون اول:

حل:

$$1 \text{ bar} = 10^5 \text{ Pa} = 0.1 \text{ MPa}$$

$$q_H = h_5 - h_4 = 3213.6 - 608.6 = 2605.0 \text{ kJ/kg}$$

$$\eta_{th} = \frac{w_{net}}{q_H} = \frac{975.7}{2605.0} = 37.5\%$$

توجه شود که افزایش کارآبی این سیکل، بیشتر از سیکل رنکین مثال (۱۱-۲) می‌باشد.

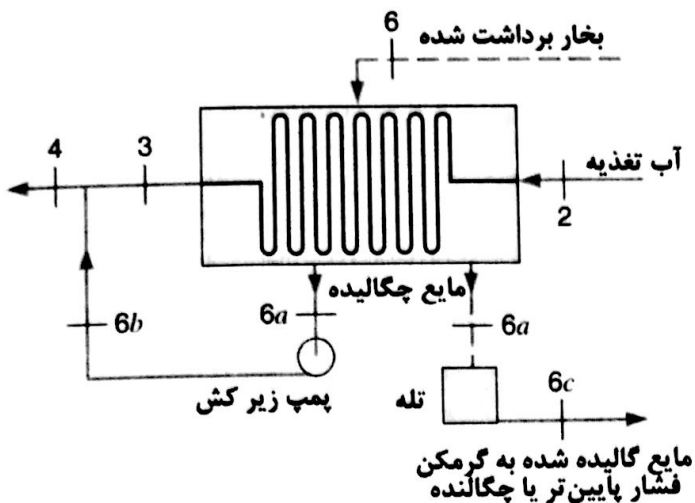
تا این مرحله در بحث‌ها و مثال‌ها فرض شده بود در گرمکن آب تغذیه، بخار آب برداشتی از توربین با آب تغذیه مخلوط می‌شوند. نوع دیگری از گرمکن آب تغذیه که موارد استفاده زیادی دارد، موسوم به گرمکن بسته است و در این نوع، بخار آب و آب تغذیه با یکدیگر مخلوط نمی‌شوند ولی در حین چگالش بخار آب برداشتی در خارج لوله‌ها، حرارت به آب تغذیه که از درون لوله عبور می‌کند منتقل می‌شود. در گرمکن بسته که طرح ساده آن در شکل (۱۱-۱۳) نشان داده شده است، امکان دارد که فشارهای جریان بخار آب و آب تغذیه، اختلاف قابل توجهی داشته باشند. مایع چگالیده شده می‌تواند به داخل گرمکن آب تغذیه پمپ شود و یا از طریق تله بخار (وسیله‌ای که از جریان یافتن بخار به یک ناحیه کم‌فشار جلوگیری می‌کند و فقط اجازه عبور به مایع می‌دهد) به گرمکن فشار پایین یا چگالنده اصلی انتقال یابد.

اجازه دهد گرمکن بسته تغذیه آب شکل (۱۱-۱۳) را وقتی یک تله بخار بر روی آن نصب و مایع چگالیده شده را به دورن چگالنده یا گرمکن فشار پایین تخلیه می‌کند درنظر بگیریم. فرض می‌کنیم بتوان آب تغذیه را تا درجه حرارت جریان مایع چگالیده برداشت شده از گرمکن، گرم کرد یعنی $T_3 = T_4 = T_6$. اصل بقای جرم در مورد گرمکن به شکل زیر خواهد بود:

$$\dot{m}_4 = \dot{m}_3 = \dot{m}_2 = \dot{m}_5; \quad \dot{m}_6 = y\dot{m}_5 = \dot{m}_{6a} = \dot{m}_{6c}$$

توجه داشته باشید که جریان برداشت شده به چگالنده اضافه می‌شود و بنابراین مقدار دبی نقطه ۲ برابر با دبی نقطه ۵ خواهد بود. معادله انرژی به شکل زیر است:

$$\dot{m}_5 h_2 + y\dot{m}_5 h_6 = \dot{m}_5 h_3 + y\dot{m}_5 h_{6a} \quad (11-6)$$



شکل ۱۱-۱۳ آرایش طرحواره یک گرمکن بسته‌ی آب تغذیه.

از حل معادله بالا برای x داریم:

$$y = \frac{h_3 - h_2}{h_6 - h_{6a}} \quad (11-7)$$

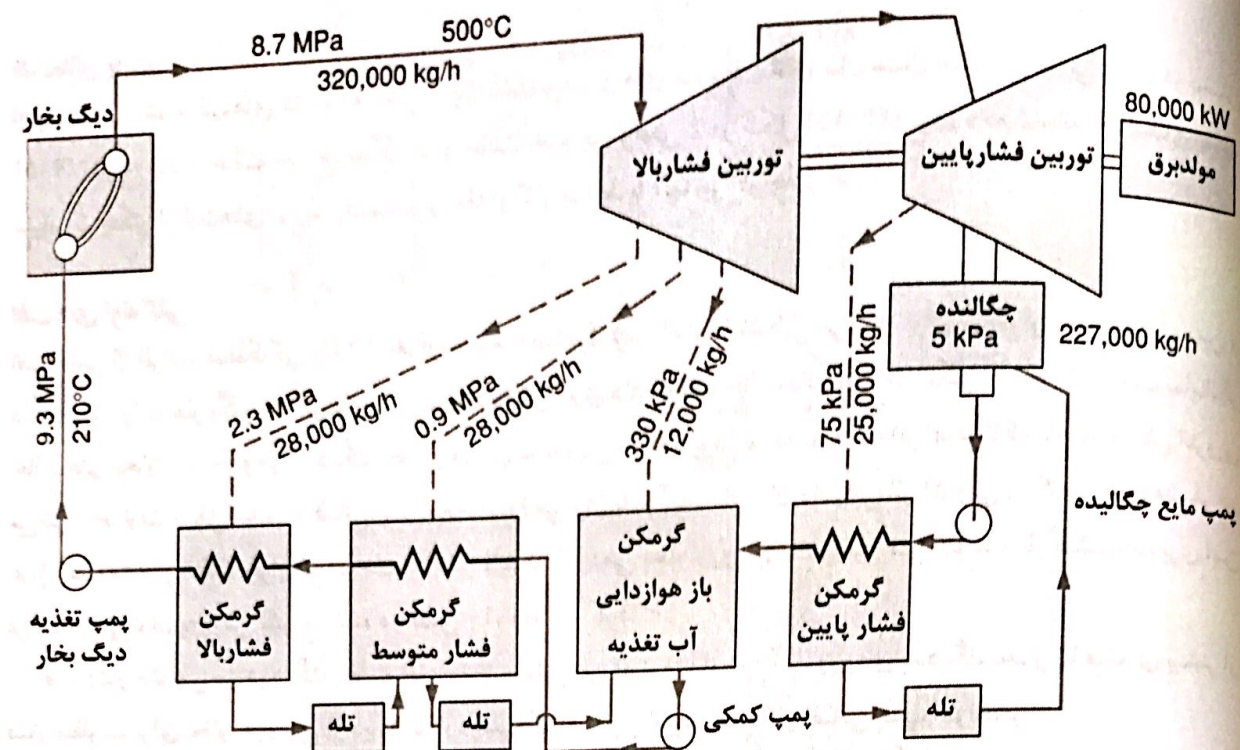
مزیت گرمکن باز آب تغذیه در مقایسه با گرمکن بسته‌ی آب تغذیه این است که هزینه آن کمتر و مشخصه‌های انتقال حرارت آن بهتر است. عیب این نوع گرمکن آن است که برای انتقال آب تغذیه بین گرمکن‌ها باید از پمپ استفاده شود. در بسیاری از نیروگاه‌ها از تعدادی مراحل برداشت بخار (بهندرت بیشتر از پنج مرحله) استفاده می‌شود. تعداد این مراحل با توجه به ملاحظات اقتصادی تعیین می‌شود. واضح است که با استفاده از تعداد زیادی مرحله برداشت بخار و گرمکن‌های آب تغذیه، کارآبی سیکل نزدیک به سیکل بازیاب ایدآل شکل (۱۱-۱۱) خواهد شد که در آن آب تغذیه در حالت مایع اشباع و حداکثر فشار وارد دیگ بخار می‌شد. گرچه در عمل این کار از نظر اقتصادی قابل توجیه نیست زیرا صرفه‌جویی‌های ناشی از افزایش کارآبی به مراتب کمتر از آن است که هزینه تجهیزات اضافی (گرمکن آب تغذیه، لوله‌کشی و غیره) را جبران کند.

آرایشی نمونه از تجهیزات اصلی یک نیروگاه حقیقی در شکل (۱۱-۱۴) نمایش داده شده است. توجه شود که یکی از گرمکن‌های باز آب تغذیه، گرمکن هوازدایی آب تغذیه است که در آن هدف دوگانه گرمایش و خروج هوا از آب تغذیه، برآورده می‌گردد. اگر هوا خارج نشود، خوردگی شدیدی در دیگ بخار به وجود خواهد آمد. لازم به تذکر است که مایع چگالیده شده، از گرمکن فشار بالا (از طریق یک تله بخار) به درون گرمکن فشار متوسط تخلیه می‌شود و گرمکن فشار متوسط به داخل گرمکن هوازدایی آب تغذیه تخلیه می‌گردد. گرمکن فشار پایین نیز به درون چگالنده تخلیه می‌شود. بسیاری از نیروگاه‌های حقیقی، مرکب از یک مرحله کرمایش مجدد و تعدادی مراحل برداشت هستند. اصولی که قبل ملاحظه شد به آسانی بر چنین سیکلی اعمال می‌شود.

۱۱-۶ انحراف سیکل‌های حقیقی از سیکل‌های ایدآل

قبل از کنار نهادن بحث سیکل‌های توانی بخار، چند نظریه درمورد نحوه انحراف سیکل حقیقی از سیکل ایدآل باید در نظر گرفته شود که مهمترین این افت‌ها که در بخش‌های بعد بررسی می‌شوند مربوط به توربین، پمپ‌ها، لوله‌کشی و چگالنده‌ها است.

۱۱. سیستم‌های توان و تبرید با تغییر فاز ۴۲۱

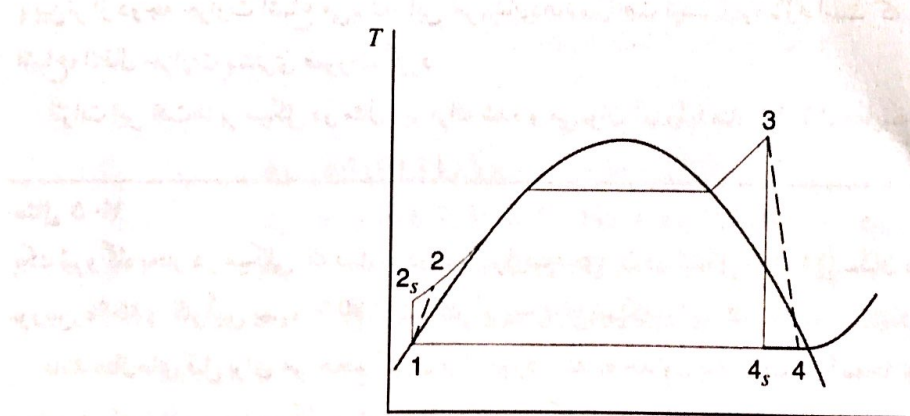


شکل ۱۱-۱۴ آرایش گرمکنها در یک نیروگاه واقعی که از گرمکن بازیاب آب تغذیه استفاده شده است.

افت‌های توربین

همان‌گونه که در بخش (۹-۵) تشریح شد، افت‌های توربین با اختلاف عملکرد یک نیروگاه سیکل ایدآل رنکین با سیکل حقیقی متناظر با آن نشان داده می‌شود.

کار مثبت و عظیم توربین، نقش اساسی در کارآیی حرارتی سیکل دارد و متناسب با ضریب کارآیی ایزنتروپیک توربین کاهش می‌یابد. افتهای توربین اساساً در رابطه با جریان سیال فعال در درون گذرگاه‌ها و تیغه‌های توربین است. انتقال حرارت به محیط نیز نمایانگر نوعی افت فشار است، ولی این معمولاً در درجه دوم اهمیت قرار دارد. فرآیند توربین را می‌توان مطابق شکل (۱۱-۱۵) نشان داد. در شکل مذکور، نمایانگر حالت سیال بعد از انساط ایزنتروپیک، و حالت ۴ نشان‌دهنده حالت واقعی خروج از توربین در یک فرآیند بازگشت‌ناپذیر است. روش‌های کنترل نیز می‌تواند موجب افت در توربین گردد، بهویژه اگر برای کنترل توربین از فرآیند اختناق استفاده شده باشد.



شکل ۱۱-۱۵ نمودار درجه حرارت - انتروپی نمایانگر تأثیر کارآیی توربین و پمپ بر عملکرد سیکل.

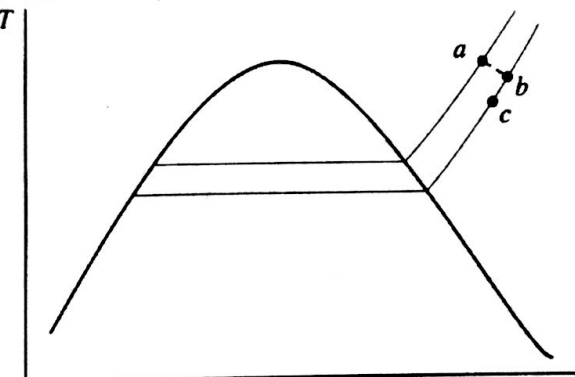
الفتهای پمپ

افتهای پمپ، شبیه افتهای توربین و ناشی از بازگشت ناپذیری‌های مربوط به جریان سیال است. کارآبی پمپ در بخش (۹-۵) تشریح شد و حالت خروج ایدآل^۱ و حالت خروجی واقعی^۲ در شکل (۱۱-۱۵) نشان داده شده‌اند. افتهای پمپ بسیار کوچکتر از افتهای توربین هستند زیرا مقدار کار مرتبط با آنها نیز کوچکتر است.

الفتهای لوله‌کشی

افت ناشی از اثرات اصطکاکی و تبادل حرارت با محیط، مهمترین افت را تشکیل می‌دهد. برای مثال، لوله‌کشی بین توربین و دیگ بخار را در نظر بگیرید. اگر فقط اثرات اصطکاکی روی داده باشد، حالت‌های *a*, *b*, *c* در شکل (۱۱-۱۶) به ترتیب نمایانگر حالت‌های بخار آب خروجی از دیگ بخار و ورودی به توربین خواهد بود. توجه شود که اثر اصطکاک باعث افزایش انتروپی می‌شود. حرارت منتقل شده در فشار ثابت به محیط را می‌توان با فرآیند *b*-*c* نشان داد. این اثر انتروپی را کاهش می‌دهد. هر دو عامل افت فشار و انتقال حرارت، موجب کاهش قابلیت کاردهی بخار ورودی به توربین می‌شوند و بازگشت ناپذیری این فرآیند را می‌توان به روش تشریح شده در فصل ۱۰، محاسبه کرد.

افت فشار مشابهی نیز در دیگ بخار وجود دارد. بدلیل این افت فشار، باید آب ورودی به دیگ بخار تا فشاری بیشتر از فشار مطلوب برای بخار خروجی از دیگ بخار، پمپ گردد و این امر مستلزم کار اضافی پمپ خواهد بود.



شکل ۱۱-۱۶ نمودار درجه حرارت - انتروپی نمایانگر تأثیر افتهای بین دیگ بخار و توربین.

الفتهای چگالنده

افتهای چگالنده، نسبتاً کوچک هستند. یکی از این افتهای فرعی، افت ناشی از سرد کردن مایع خروجی از چگالنده پایین تر از درجه حرارت اشباع می‌باشد. این امر نشان‌دهنده افت است زیرا لازم است که برای آوردن آب به درجه حرارت اشباع، انتقال حرارت بیشتری صورت گیرد.

اثرات این افتهای بر سیکل در مثال زیر ارائه شده و می‌توان آن را با مثال (۱۱-۲) مقایسه کرد.

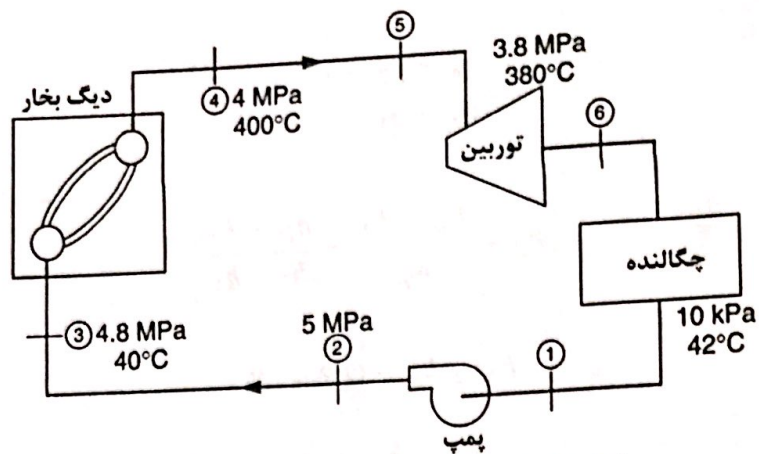
مثال ۱۱-۵

یک نیروگاه بخار در سیکلی که فشار و درجه حرارت‌های آن در شکل (۱۱-۱۷) نشان داده شده کار می‌کند. کارآبی توربین % ۸۶ و کارآبی پمپ % ۸۰ است. کارآبی حرارتی سیکل را بباید.

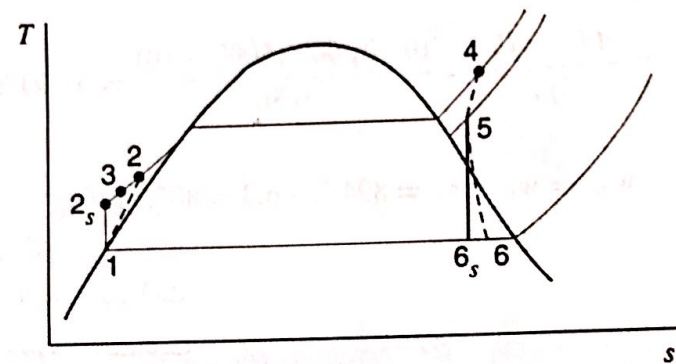
مانند مثال‌های قبل برای هر حجم کنترل مدل مورد استفاده جداول بخار آب، فرآیندها حالت پایدار و تغییر انرژی جنبشی و پتانسیل ناچیز است. این سیکل روی نمودار *T-s* در شکل (۱۱-۱۸) نشان داده شده است.

حجم کنترل: توربین

۱۱. سیستم‌های توان و تبرید با تغییر فاز ۴۲۳



شکل ۱۱-۱۷ نمودار طرحواره‌ای برای مثال ۱۱-۵



شکل ۱۱-۱۸ نمودار درجه حرارت - انتروپی مثال ۱۱-۵

حالت ورودی: P_5 و T_5 معلوم، حالت ثابت

حالت خروجی: P_6 معلوم

تحلیل:

$$w_t = h_5 - h_6$$

$$s_{6s} = s_5$$

قانون اول:

قانون دوم:

کارآبی برابر است با:

$$\eta_t = \frac{w_t}{h_5 - h_{6s}} = \frac{h_5 - h_6}{h_5 - h_{6s}}$$

حل:

از جداول بخار آب:

$$h_5 = 3169.1 \text{ kJ/kg}, \quad s_5 = 6.7235$$

$$s_{6s} = s_5 = 6.7235 = 0.6493 + x_{6s} 7.5009, \quad x_{6s} = 0.8098$$

$$h_{6s} = 191.8 + 0.8098(2392.8) = 2129.5 \text{ kJ/kg}$$

$$w_t = \eta_t(h_5 - h_{6s}) = 0.86(3169.1 - 2129.5) = 894.1 \text{ kJ/kg}$$

حجم کنترل: پمپ

حالت ورودی: P_1 و T_1 معلوم، حالت ثابت

حالت خروجی: P_2 معلوم

تحلیل:

قانون اول:

قانون دوم:

چون $s_1 = s_{2s}$ است، داریم:

$$\eta_p = \frac{h_{2s} - h_1}{w_p} = \frac{h_{2s} - h_1}{h_2 - h_1}$$

از آنجا که $s_2 = s_1$

$$h_{2s} - h_1 = v(P_2 - P_1)$$

بنابراین:

$$w_p = \frac{h_{2s} - h_1}{\eta_p} = \frac{v(P_2 - P_1)}{\eta_p}$$

حل:

$$w_p = \frac{v(P_2 - P_1)}{\eta_p} = \frac{(0.001\ 009)(5000 - 10)}{0.80} = 6.3 \text{ kJ/kg}$$

بنابراین:

$$w_{net} = w_t - w_p = 894.1 - 6.3 = 887.8 \text{ kJ/kg}$$

حجم کترل: دیگ بخار

حالت ورودی: P_3 و T_3 معلوم، حالت ثابتحالت خروجی: P_4 و T_4 معلوم، حالت ثابت

تحلیل:

$$q_H = h_4 - h_3$$

قانون اول:

حل:

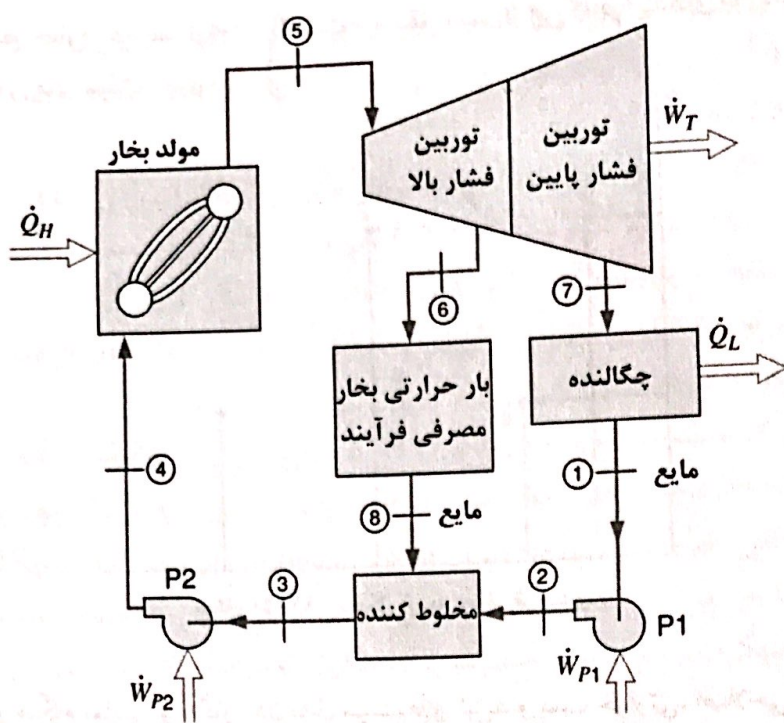
$$q_H = h_4 - h_3 = 3213.6 - 171.8 = 3041.8 \text{ kJ/kg}$$

$$\eta_{th} = \frac{887.8}{3041.8} = 29.2\%$$

به مقایسه این مقدار با کارآبی 35.3% برای سیکل رنکین مشابه در مثال (۱۱-۲) توجه شود.

۱۱-۷ تولید همزمان

گاهی اوقات در مجموعه‌های صنعتی در حالی که ازنیروگاه بخار آب برای تولید الکتریسیته استفاده می‌شود، دسترسی به یک منبع خاص انرژی ضرورت می‌یابد. در چنین مواردی بهتر است از بخار آبی که در بخش فشار قوی توربین نیروگاه منبسط شده است جهت تأمین منبع انرژی مورد نیاز استفاده شود و بدین‌وسیله ساخت و استفاده از دیگ بخار دوم یا انواع دیگر انرژی حذف خواهد شد. در شکل (۱۱-۱۹) چنین آرایشی نشان داده شده است که در آن بخشی از بخار در فشار متوسط از توربین خارج می‌شود تا بخار آب لازم برای نیاز خاص انرژی (که ممکن است برای مصرف در یک فرآیند خاص یا تجهیزات سیستم گرمایش به کار می‌رود) را تأمین نماید. این نوع کاربرد را تولید همزمان نامند. اگر این سیستم به صورت مجموعه‌ای طراحی شود که در آن نیازهای الکتریکی و بخار آب فرآیند تأمین شود می‌توان با دقت کردن در بررسی نیازها و بهینه‌سازی عوامل مختلف مؤثر، در هزینه‌های سرمایه‌گذاری تجهیزات و نیز هزینه‌های بهره‌برداری صرفه‌جویی کرد. مسائل خاص سیستم‌های تولید همزمان در مسائل انتهایی فصل ارائه شده‌اند.



شکل ۱۱-۱۹ مثالی از یک سیستم تولید همزمان.

سؤالات مفهومی

- الف) یک سیکل رنکین بدون مافوق گرم کن را درنظر بگیرید. چه تعداد خواص منفرد برای تعیین این سیکل لازم است؟ پاسخ را برای یک سیکل دارای گرم کن تکرار کنید.
- ب) چه جزئی فشار بالا در سیکل رنکین را تعیین می کند؟ چه عاملی فشار پایین را مشخص می سازد؟
- پ) تفاوت میان یک گرم کن آب تغذیه بسته و باز چیست؟
- ت) در تولید همزمان نیروگاه، چه چیزی به صورت همزمان تولید می شود؟

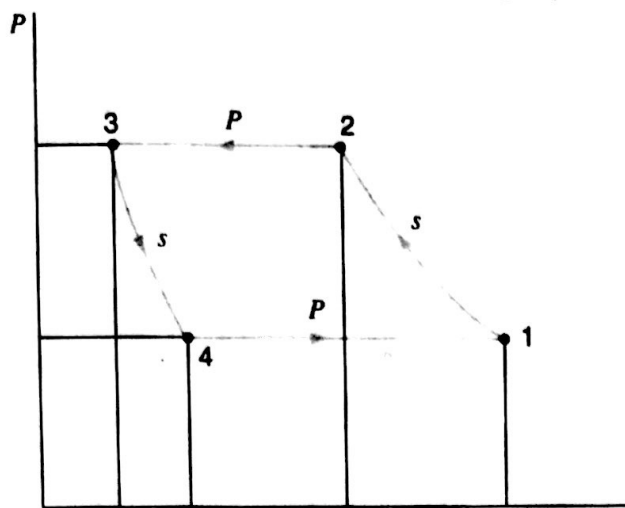
۱۱-۸ مقدمه‌ای بر سیستم‌های تبرید

در بخش (۱۱-۱) موتورهای حرارتی سیکلی بررسی شدند. این موتورها دارای چهار فرآیند مجزا از نوع فرآیند حالت پایدار یا فرآیندهای همراه با حرکت مرز سیلندر پیستون بودند. همچنین، این اجزه داده شد تا سیال فعال در طول سیکل در یک فاز باقی بماند و یا تغییر فاز بدهد. سپس یک سیستم تولید توان که مرکب از چهار فرآیند حالت پایدار بازگشت‌پذیر بود را بررسی کردیم. برای ساده‌سازی و کاهش شرایط ضروری برای تجهیزات، دو عدد از فرآیندهای مذکور از نوع انتقال حرارت در فشار ثابت هستند و طبیعتاً دارای هیچ گونه کاری نیستند. همچنین فرض شد که دو فرآیندیگر که متضمن کار بودند، فرآیندهای آدیاباتیک و بنابراین ایزنتروپیک باشند و سیکل توانی حاصل در شکل (۱۱-۲۰) نشان داده شد.

اکنون سیکل ایدآل اصلی تبرید که دقیقاً همانند سیکل ذکر شده اخیر است ولی در آن هر یک از فرآیندها بر خلاف جهت فرآیندهای سیکل توانی است را بررسی می کنیم. سیکل ایدآل تبرید در شکل (۱۱-۲۰) نشان داده شده است. توجه کنید که اگر تمام سیکل در داخل شلجمی ناحیه‌ی دو فازی مایع-بخار به وقوع بیرون ند، سیکل حاصل (همانند سیکل توانی مشابه) به صورت سیکل کارنو است و بنابراین هر دو فرآیند فشار ثابت، همدما نیز هستند.

از سوی دیگر، این سیکل یک سیکل کارنو نیست. همانند قبل مذکور می شویم که کار خالص ورودی به سیکل برابر با

سطح محصور شده توسط خطوط فرآیند ۱-۲-۳-۴-۱ است و مستقل است از این که فرآیندهای موردنظر از نوع حالت پایدار باشند یا از نوع حرکت مرزهای سیلندر پیستون.

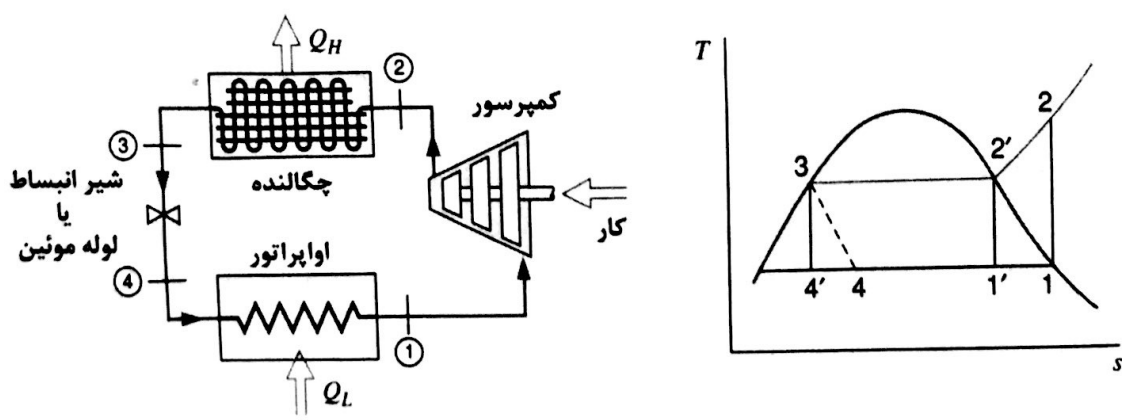


شکل ۱۱-۲۰ سیکل تبرید چهار فرآیندی.

در بخش آینده و در هنگام نمایش و به کاربردن مدل سیستم‌های تبرید و پمپ حرارتی، اصلاحی بر روی سیکل سیستم تبرید ایدآل انجام خواهیم داد.

۱۱-۹ سیکل تبرید تراکم بخار

در این بخش سیکل ایدآل تبرید را بررسی می‌کنیم که در آن ماده فعال در طی سیکل مشابه سیکل توانی رنکین که در بخش (۱۱-۲) تشریح شد تغییر فاز می‌دهد. در همین رابطه یادآور می‌شویم که حالت ۳ در شکل (۱۱-۲۰) نشان‌دهنده مایع اشباع در درجه حرارت چگالنده است و حالت ۱ نمایانگر بخار اشباع در درجه حرارت تبخیر کننده می‌باشد. این بدان معنا است که فرآیند انبساط ایزنتروپیک ۳-۴ در ناحیه دو فازی است و بیشتر آن را مایع تشکیل می‌دهد. در نتیجه مقدار کار خروجی این فرآیند بسیار اندک می‌باشد به گونه‌ای که توجیهی برای افزودن این قطعه از تجهیزات به سیستم وجود ندارد. بنابراین توربین را با یک وسیله اختناق‌دهنده جایگزین می‌کنیم. معمولاً این وسیله یک شیر یا یک لوله طویل با قطر کم است که در آن سیال فعال از فشار بالا تا فشار پایین اختناق می‌یابد. سیکل حاصل، مدل ایدآل سیستم تبرید تراکم بخار است که در شکل (۱۱-۲۱) نشان داده شده است. بخار اشباع در فشار پایین وارد کمپرسور می‌شود و در فرآیند ۲-۱ یک تراکم آدیباگتیک بازگشت بدیر



شکل ۱۱-۲۱ سیکل ایدآل تبرید تراکم بخار.

راطی می‌کند. سپس در فرآیند ۳-۲ و فشار ثابت، حرارت دفع می‌شود و سیال فعال به حالت مایع اشباع از چگالنده خارج خواهد شد. به دنبال آن فرآیند اختناق آدیاباتیک ۳-۴ به وقوع می‌پوندد و سپس سیال فعال در فشار ثابت طی فرآیند ۴-۱ تبخیر می‌شود و سیکل کامل خواهد شد.

شباهت این سیکل با معکوس سیکل رنکین قبلًا خاطرنشان شد. همچنین اختلاف بین این سیکل و سیکل ایدآل کارنو که در آن سیال فعال همیشه در داخل ناحیه دوفازی ۱'-۲'-۳'-۴' باقی می‌ماند ذکر گردید. بسیار مناسب است که کمپرسور فقط بخار را منتقل کند نه مخلوط بخار مایع را آن‌طور که در فرآیند ۲'-۱' سیکل کارنو لازم است. در واقعیت نیز ابساط مخلوط نشان داده شده در حالت ۱ با دبی معقول و باقی‌سودن تعادل بین مایع و بخار ناممکن است. اختلاف دیگر که جایگزینی توربین با فرآیند اختناق است قبلًا تشریح شد.

باید خاطرنشان ساخت که سیستم تشریح شده در شکل (۱۱-۲۱) را می‌توان برای دو منظور به کار برد. کاربرد اولیه آن سیستم تبرید است که در این حالت هدف باقی نگه داشتن یک فضا در درجه حرارت پایین T_1 نسبت به درجه حرارت محیط T_3 می‌باشد. (در سیستم واقعی، ضروری است اختلاف درجه حرارت محدودی در تبخیر کننده و چگالنده وجود داشته باشد تا توان در هر یک از آنها حرارت را با شدت محدودی منتقل کرد). بنابراین، دلیل ساخت سیستم مذکور در این حالت، کمیت q_H است. نحوه‌ی عملکرد سیستم تبرید بر حسب ضریب عملکرد که در فصل ۷ به صورت:

$$\beta = \frac{q_L}{w_c} \quad (11-8)$$

تعریف شد سنجدیده می‌شود.

کاربرد دوم مربوط به سیستم پمپ حرارتی تشریح شده در شکل (۱۱-۲۱) است که در آن هدف ثابت نگه داشتن درجه حرارت یک فضا در درجه حرارت T_3 است که بالاتر از درجه حرارت محیط T_1 (یا منابع دیگر) می‌باشد. در این حالت دلیل ساخت سیستم ذکر شده، کمیت q_H است و ضریب عملکرد پمپ حرارتی به صورت زیر تعریف می‌شود:

$$\beta' = \frac{q_H}{w_c} \quad (11-9)$$

اگرچه سیستم‌های تبرید و پمپ حرارتی از نظر متغیرهای مورد استفاده در طراحی اختلاف دارند ولی تحلیل‌های هردو یکسان است. هنگام بررسی یخچال‌ها در این بخش و دو بخش آینده باید به خاطر داشت که همان توضیحات و تفاسیر را می‌توان در مورد پمپ حرارتی نیز به کار برد.

مثال ۱۱-۶

یک سیکل ایدآل تبرید را در نظر بگیرید که در آن از مبرد a-134R به عنوان سیال فعال استفاده شده است. درجه حرارت مبرد در تبخیر کننده 20°C و در چگالنده 40°C می‌باشد. مبرد با دبی 0.03 kg/s در سیکل چرخش می‌کند. ضریب عملکرد و ظرفیت واحد را بر حسب شدت تبرید، تعیین کنید.

دیاگرام این مثال در شکل (۱۱-۲۱) نشان داده شده است. برای هر تحلیل حجم کنترل، مدل ترمودینامیکی جداول مبرد ۱2-R و فرآیند حالت پایدار بدون تغییر انرژی جنبشی یا پتانسیل است.

حجم کنترل: کمپرسور

حالت ورودی: T_1 معلوم، بخار اشباع؛ حالت ثابت

حالت خروجی: P_2 معلوم (فشار اشباع در T_3).

تحلیل:

$$w_c = h_2 - h_1$$

$$s_2 = s_1$$

قانون اول:

قانون دوم:

حل:

$$T_3 = 40^\circ\text{C}$$

$$P_g = P_2 = 1017 \text{ kPa}$$

از جداول مبرد R-134a

$$h_1 = 386.1 \text{ kJ/kg}, \quad s_1 = 1.7395 \text{ kJ/kg}$$

بنابراین:

$$s_2 = s_1 = 1.7395 \text{ kJ/kg K}$$

دراین صورت:

$$T_2 = 47.7^\circ\text{C} \quad \text{and} \quad h_2 = 428.4 \text{ kJ/kg}$$

$$w_c = h_2 - h_1 = 428.4 - 386.1 = 42.3 \text{ kJ/kg}$$

حجم کنترل: شیر انبساط

حالت اولیه: T_3 معلوم، مایع اشباع؛ حالت ثابتحالت خروجی: T_4 معلوم

تحلیل:

$$h_3 = h_4$$

$$s_3 + s_{\text{gen}} = s_4$$

قانون اول:

قانون دوم:

حل:

حجم کنترل: تبخیر کننده

$$h_4 = h_3 = 256.5 \text{ kJ/kg}$$

حالت ورودی: حالت 4 معلوم، (از مراحل قبل)

حالت خروجی: حالت 1 معلوم (از مراحل قبل)

تحلیل:

$$q_L = h_1 - h_4$$

قانون اول:

حل: با قراردادن مقادیر داریم:

$$q_L = h_1 - h_4 = 386.1 - 256.5 = 129.6 \text{ kJ/kg}$$

بنابراین:

$$\beta = \frac{q_L}{w_c} = \frac{129.6}{42.3} = 3.064$$

$$129.6 \times 0.03 = 3.89 \text{ KW}$$

۱۱-۱۰ سیال فعال در سیستم‌های تبرید تراکم بخار

در سیستم‌های تبرید تراکم بخار، نسبت به سیکل‌های توانی بخار از سیالهای فعال (مبردها) متنوع‌تری استفاده می‌شود. در سیستم‌های اولیه تبرید تراکم بخار، آمونیاک و دی‌اکسید گوگرد از اهمیت فراوانی برخوردار بودند ولی هر دو بسیار سمی و

خطرناک هستند. اکنون سالهاست که مبردهای اصلی هیدروکربنهای هالوژن هستند که با نامهای تجاری فرنون و ژناترون شناخته می‌شوند. برای مثال، دی‌کلرودی‌فلونورومتان (CCl_2F_2) بعنوان فرنون ۱۲ و ژناترون ۱۲ معروف هستند که مبرد R-12 نامیده می‌شوند. این گروه مواد را به عنوان کلروفلونور و کربن‌ها و CFC ها می‌شناسند که از نظر شیمیایی در درجه حرارت محیط بسیار پایدار هستند، بهویژه آنهایی که فاقد اتم‌های هیدروژن می‌باشند. این مشخصه برای سیال فعال مبرد ضروری است. در عین حال اگر گاز از یک دستگاه نشت و به آرامی در طی سالیان به سمت بالا و درون استاتوفر نفوذ کند، وجود این مشخصه مشترک بسیار مخرب خواهد بود. این مواد در استاتوفر شکسته می‌شوند و کلر آزاد آنان لایه اوزون محافظ استاتوفر را تخریب خواهد کرد. بنابراین حذف استفاده وسیع ولی مخرب حیات CFC ها به خصوص R-11 و R-12 اهمیت انکارناپذیری برای ما دارد و باید به دنبال جایگزینهای قابل قبول و مناسب برای آنان باشیم. CFC های حاوی هیدروژن (که غالباً HCFC ها خوانده می‌شوند) از قبیل R-22 عمر کوتاهتری دارند و بنابراین قبل از رسیدن به استاتوفر به عناصر غیرمخرب تجزیه خواهند شد. بیشتر سیالات مطلوب که HFC خوانده می‌شوند فاقد اتم‌های کلر هستند. اما همانند سایر گازهای گلخانه‌ای به تخریب جو کمک می‌کنند و در برخی از موارد بیشتری از دی‌اکسید کربن اثرات مخرب دارند. فروش مبرد R-12 که به مقدار زیادی در سیستم‌های تبرید استفاده می‌شد در بسیاری از کشور ممنوع شده و R-22 نیز که در سیستم‌های تهویه مطبوع کاربرد دارند، طبق یک برنامه زمانی در حال توقف است. برخی از مبردهای جایگزین که بخش مهمی از آنها مخلوط سیالات مختلف هستند و ماده خالص نمی‌باشند عبارت‌اند از:

R-11	R-12	R-13	R-22	R-502	R-503
R-123	R-134a	R-23 (low T)	NH ₃	R-404a	R-23 (low T)
R-245fa	R-152a	CO ₂	R-410a	R-407a	CO ₂

R-401a R-170 (ethane) R-507a

در هنگام انتخاب سیال فعال مبرد به دو نکته مهم باید توجه داشت:

درجه حرارتی که لازم است با سرمایش ثبیت شود و نوع تجهیزاتی که استفاده خواهد شد.

چون در طی فرآیند انتقال حرارت، مبرد تغییر فاز می‌یابد، فشار مبرد در حین فرآیندهای تغذیه حرارت و دفع حرارت، فشار اشباع خواهد بود. کم‌بودن فشار مترادف با بزرگ‌بودن حجم مخصوص است و این بدان معنی است که تجهیزات مربوطه باید بزرگ‌تر باشند. فشارهای زیاد به معنای تجهیزات کوچکتر است ولی باید این تجهیزات به نحوی طراحی شوند که در مقابل فشار زیاد، مقاومت داشته باشد. فشارها باید کمتر از فشار بحرانی انتخاب شوند. در کاربردهایی که درجه حرارت فوق العاده کم باشد می‌توان با ترکیب دو سیستم مجزا، از سیستم دوگانه استفاده کرد.

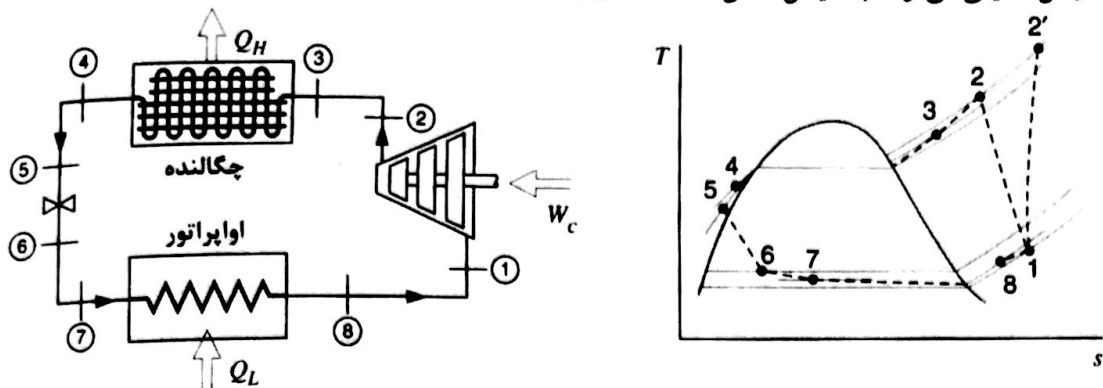
کمپرسورهای مورد استفاده روی مبردها اثرات ویژه‌ای دارند. کمپرسورهای رفت و برگشتی مناسب‌ترین نوع برای حجم مخصوص پایین (یعنی فشار زیاد) هستند ولی کمپرسورهای گریز از مرکز بیشتر برای فشار پایین و حجم مخصوص زیاد مناسب می‌باشند.

همچنین، این مطلب که مبردهای مورد استفاده در کاربردهای خانگی نیاستی سمی باشند، از اهمیت ویژه‌ای برخوردار است. از مشخصه‌های مهم دیگر مبردها، می‌توان قابلیت اختلاط با روغن کمپرسور، مقاومت دی‌الکتریکی، ثبات ترکیب شیمیایی و ارزان‌بودن آن نام برد. در عین حال متأسفانه مبردها موجب خوردگی می‌شوند. در یک سیکل ایدآل و برای یک درجه حرارت معین در فرآیندهای تبخیر و چگالش، تمام مبردها دارای ضریب عملکرد یکسانی نخواهند بود. البته مطلوب است از مبردهایی استفاده گردد که در صورتی که سایر محدودیتها اجازه دهند، دارای بزرگترین ضریب عملکرد باشد.

۱۱-۱۱ انحراف سیکل تبرید تراکم بخار حقیقی از سیکل ایدآل

به دلیل افتهای فشار ناشی از جریان سیال و نیز تبادل حرارت با محیط، سیکل تبرید حقیقی از سیکل ایدآل انحراف خواهد

داشت. سیکل حقیقی می‌تواند به سیکل شکل (۱۱-۲۲) نزدیک شود.



شکل ۱۱-۲۲ سیکل واقعی تبرید تراکم بخار.

احتمالاً بخار ورودی به کمپرسور به صورت مافوق گرم خواهد بود. درطی فرآیند تراکم، بازگشت ناپذیری‌ها و تبادل حرارت با محیط (باتوجه به درجه حرارت مبرد و محیط) صورت خواهد گرفت. بنابراین درطی این فرآیند، انتروپی ممکن است افزایش یا کاهش یابد. بازگشت ناپذیری‌ها و انتقال حرارت به مبرد، موجب افزایش انتروپی می‌شود و انتقال حرارت از مبرد موجب کاهش انتروپی می‌گردد. این احتمالات با دو خط چین ۱-۲ و ۲-۱ نشان داده شده است. فشار مایع خروجی از چگالنده کمتر از فشار بخار ورودی به آن می‌باشد و درجه حرارت مبرد در چگالنده مقداری بیشتر از درجه حرارت محیطی است که با آن تبادل حرارت می‌کند. معمولاً درجه حرارت مایع خروجی از چگالنده کمتر از درجه حرارت اشباع است و احتمال دارد که مقدار آن در لوله‌های بین چگالنده و شیر انساط، افت بیشتری نیز داشته باشد. این یک مزیت است زیرا در اثر این انتقال حرارت، مبرد بالاتالی کمتری وارد تبخیر کننده می‌شود و می‌توان در تبخیر کننده مقدار حرارت بیشتری به مبرد انتقال داد.

در حین جریان یافتن مبرد از درون تبخیر کننده افت فشار روی خواهد داد. امکان دارد مبرد در هنگام خروجی از تبخیر کننده کمی مافوق گرم باشد. همچنین در اثر انتقال حرارت از محیط به لوله‌ی بین تبخیر کننده و کمپرسور درجه حرارت مبرد می‌تواند افزایش یابد. این انتقال حرارت نشان‌دهنده یک نوع افت است زیرا در اثر افزایش حجم مخصوص سیال ورودی به کمپرسور، کار کمپرسور نیز افزایش خواهد یافت.

مثال ۱۱-۱۷

در یک سیکل تبرید از R-134a به عوان سیال فعال استفاده می‌شود. خواص زیر مربوط به نقاط مختلف سیکل شکل (۱۱) است:

$$\begin{array}{ll}
 P_1 = 125 \text{ kPa}, & T_1 = -10^\circ\text{C} \\
 P_2 = 1.2 \text{ MPa}, & T_2 = 100^\circ\text{C} \\
 P_3 = 1.19 \text{ MPa}, & T_3 = 80^\circ\text{C} \\
 P_4 = 1.16 \text{ MPa}, & T_4 = 45^\circ\text{C} \\
 P_5 = 1.15 \text{ MPa}, & T_5 = 40^\circ\text{C} \\
 P_6 = P_7 = 140 \text{ kPa}, & x_6 = x_7 \\
 P_8 = 130 \text{ kPa}, & T_8 = -20^\circ\text{C}
 \end{array}$$

درطی فرآیند تراکم، حرارت منتقل شده از مبرد R-134a ۴ kJ/kg مقدار است. ضریب عملکرد سیکل را باید برای هر

۱۱. سیستم‌های توان و تبرید با تغییر فاز ۴۳۱

حجم کنترل، مدل جداول مبرد R-134a و فرآیند حالت پایدار بدون تغییر انرژی پتانسیل یا جنبشی است. همانند قبل، فرآیند را به دو مرحله تقسیم می‌کنیم، کمپرسور، شیر اختناق، لوله‌ها، و تبخیر کننده.

حجم کنترل: کمپرسور

حالت ورودی: P_1 , T_1 معلوم؛ حالت ثابت

حالت خروجی: P_2 , T_2 معلوم؛ حالت ثابت

تحلیل:

قانون اول:

$$q + h_1 = h_2 + w$$

$$w_c = -w = h_2 - h_1 - q$$

حل:

از جداول مبرد R-134a

$$h_1 = 394.9 \text{ kJ/kg}, \quad h_2 = 480.9 \text{ kJ/kg}$$

بنابراین:

$$w_c = 480.9 - 394.9 - (-4) = 90.0 \text{ kJ/kg}$$

حجم کنترل: شیر اختناقی به علاوه خط لوله

حالت ورودی: T_5 , P_5 معلوم، حالت ثابت

حالت خروجی: $P_7 = P_6$ معلوم، $x_7 = x_6$

تحلیل:

$$h_5 = h_6$$

قانون اول:

$. h_7 = h_6$ است، لذا: $x_7 = x_6$

حل: از نظر عددی داریم:

$$h_5 = h_6 = h_7 = 256.4$$

حجم کنترل: تبخیر کننده

حالت ورودی: P_7 , h_7 معلوم (مراحل قبل)

حالت خروجی: P_8 , T_8 معلوم؛ حالت ثابت

تحلیل:

$$q_L = h_8 - h_7$$

قانون اول:

حل: با قراردادن مقادیر داریم:

$$q_L = h_8 - h_7 = 386.6 - 256.4 = 130.2 \text{ kJ/kg}$$

بنابراین:

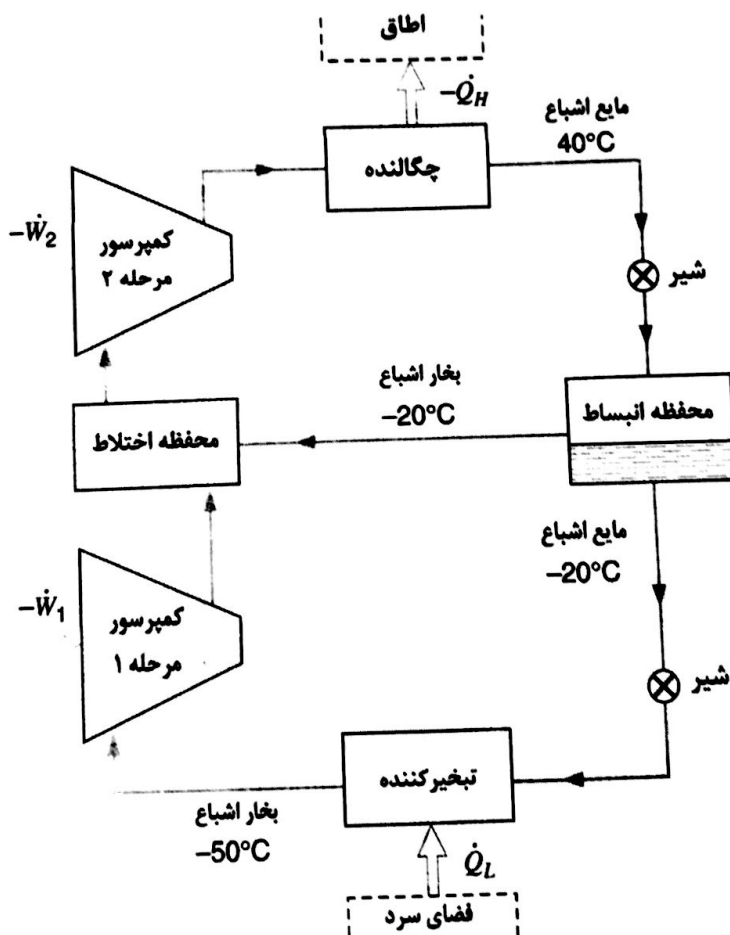
$$\beta = \frac{q_L}{w_c} = \frac{130.2}{90.0} = 1.44$$

سوالات مفهومی

- ث) یک یخچال در آشپزخانه 20°C با مبرد R-134a کار می‌کند و من می‌خواهم قطعات بین 5°C - 20°C بسازم. حداقل فشار بالا و حداقل فشار پایین که می‌تواند استفاده شود چیست؟
- ت) چه پارامترهایی برای تعیین دقیق یک سیکل تبرید استاندارد بخار - تراکم لازم است.

۱۱-۱۲ پیکربندی سیکل تبرید

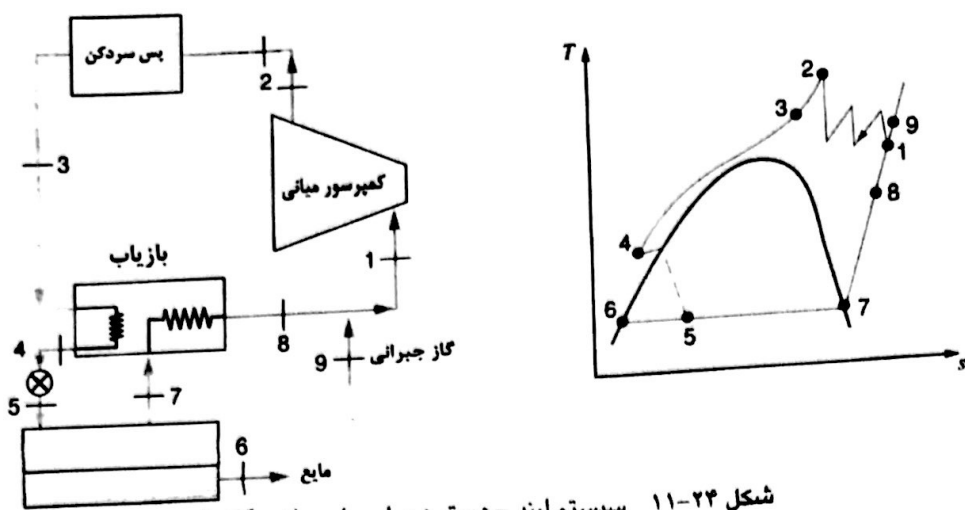
سیکل تبرید اولیه را می‌توان برای کاربردهای خاص اصلاح کرد و COP آن را افزایش داد. برای اختلاف درجه‌های بالاتری، بهبود عملکرد با تراکم دو مرحله‌ای همراه با حلقه دو گانه شکل (۱۱-۲۳) صورت می‌گیرد. این پیکربندی می‌تواند در هنگامی به کار برده شود که درجه حرارت میان مراحل کمپرسور بسیار پایین است و از کمپرسور دو مرحله‌ای با سردکن میانی (شکل P9-۴۴) استفاده می‌شود. و ماده عامل سردکننده‌ای با درجه حرارت پایین وجود ندارد. کمپرسور با پایین ترین درجه حرارت، دبی جریان پایین تری با حجم مخصوص بالاتر به وجود می‌آورد که معنای آن کار مخصوص بالاتر و در نتیجه COP بیشتر است.



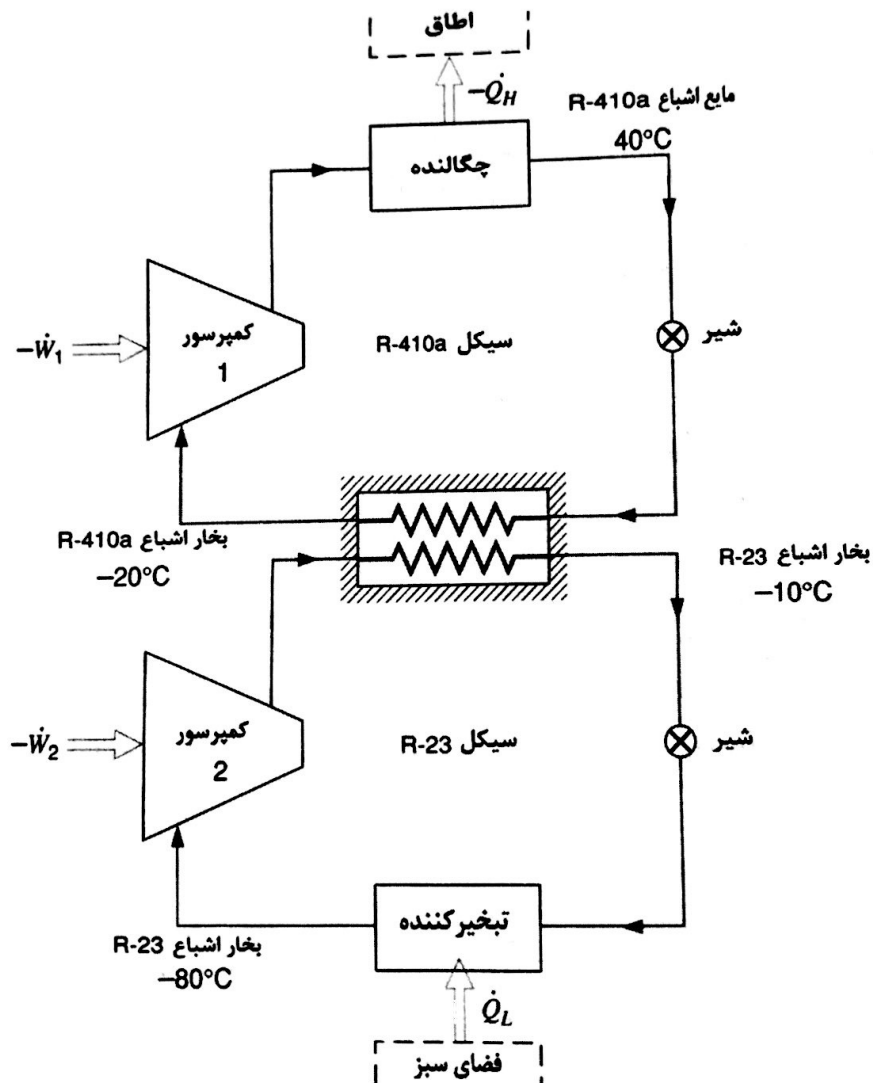
شکل ۱۱-۲۳ سیستم تبرید تراکمی دو گانه با حلقه دو گانه

یک یخچال می‌تواند برای تولید مایعات از گازها در فرایند لیند - همپسو (شکل ۱۱-۲۴) به کار برده شود که شکل ساده‌ای از تأسیسات اکسیژن مایع در شکل (۱-۹) است. یخچال گازها را تا قبل از فرایند اختناق، سرد می‌کند و این سرمایش با استفاده از بخار سردی که به طرف کمپرسور می‌رود انجام می‌شود. کمپرسور یک پیستون / سیلندر چند مرحله‌ای است و دارای سردکن میانی بین مراحل است تا کار تراکمی کاهش یابد و تراکم هم دما صورت گیرد.

۱۱. سیستم‌های توان و تبرید با تغییر فاز ۴۳۳



شکل ۱۱-۲۴ سیستم لیند - همپتون برای مایع‌سازی گازها.



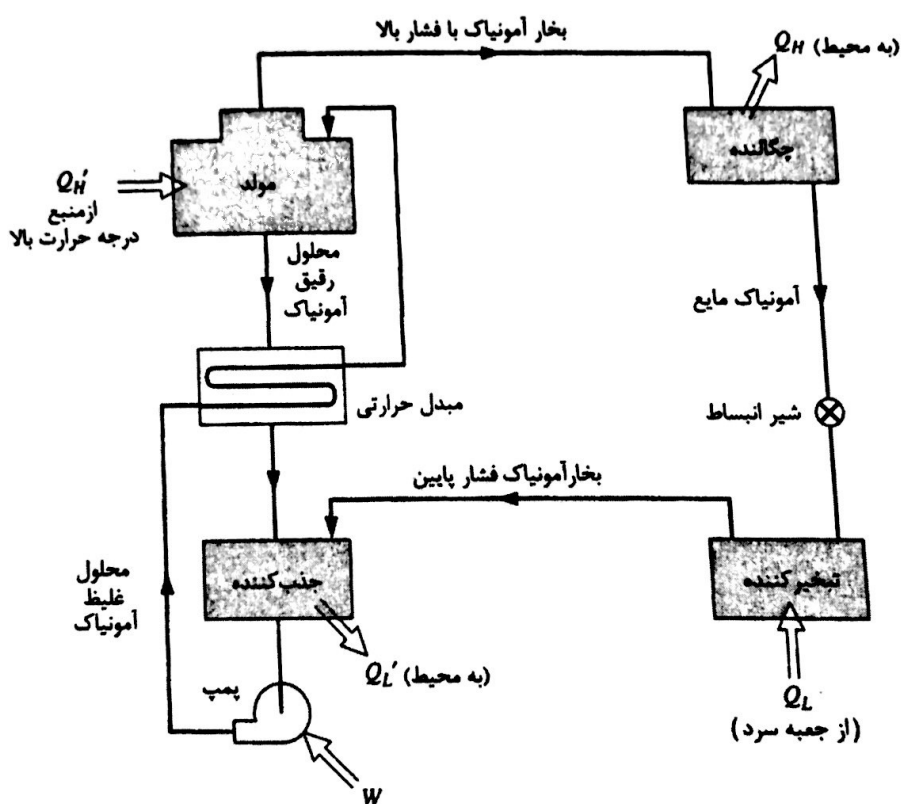
شکل ۱۱-۲۵ یک سیستم تبرید آبشاری دو سیکل

نهایتاً طیف درجه حرارت ممکن است به قدری بزرگ باشد که دو سیکل تبرید متفاوت باید با دو ماده مختلف مورد استفاده قرار گیرند که یک سیکل تبرید بالای سیکل دیگر قرار می‌گیرد. این سیستم را سیستم تبرید آبشاری می‌نامند که در شکل

(۱۱-۲۵) نشان داده شده است. در این سیستم تبخر کننده در سیکل درجه حرارت پایین می‌گیرد و نیازمند اختلاف درجه حرارت بین این دو است. این مبدل حرارتی با سیال دوگانه دارای دیجی جرمی مضاعف در سیکل هاست و موازنه انرژی بین آن دو بدون انتقال حرارت بیرونی صورت می‌گیرد. اثر خالص آن کار کل کمپرسور کمتر و افزایش ظرفیت سرمایشی در مقایسه با سیکل منفرد است. مبرد درجه حرارت پایین ۲۳-R یا هیدروژن برای ایجاد خواص ترمودینامیکی مناسب در گستره درجه حرارت نظیر لزجت و قابلیت هدایت حرارتی لازم است.

۱۱-۱۳ سیکل تبرید جذبی - آمونیاک

تفاوت سیکل تبرید جذبی - آمونیاک با سیکل تبرید تراکم بخار، در نحوه تراکم سیال است. در سیکل جذبی، بخار آمونیاک در فشار پایین توسط آب جذب می‌شود و سپس محلول مایع تا فشار زیاد توسط یک پمپ مایع، پمپ می‌شود. شکل (۱۱-۲۶) نمایانگ طرحواره اجزای اصلی چنین سیکلی است.



شکل ۱۱-۲۶ سیکل تبرید جذب آمونیاک.

بخار آمونیاک در فشار پایین از تبخیر کننده خارج و وارد جذب کننده می‌شود و در آنجا جذب محلول رقیق آمونیاک می‌گردد. این فرآیند در درجه حرارت کمی بالاتر از محیط، صورت می‌گیرد و باید در طی این فرآیند مقداری حرارت به محیط انتقال یابد. سپس محلول غلیظ آمونیاک از درون یک مبدل حرارتی به مولد پمپ می‌گردد و در مولد فشار و درجه حرارت بالاتری ثابت نگاه داشته می‌شود. در این شرایط در اثر انتقال حرارت از منبع درجه حرارت بالا، بخار آمونیاک از محلول جدا خواهد شد. بخار آمونیاک به داخل چگالنده می‌رود و در آنجا چگالیده می‌شود (مانند سیستم تراکم بخار) و سپس به شیر انبساط و تبخیر کننده راه می‌یابد. محلول رقیق آمونیاک از طریق یک مبدل حرارتی، مجدداً به جذب کننده

بازمی گردد.

ویژگی برجسته سیستم جذبی آن است که این سیستم تبرید فقط به مقدار کمی کار نیازمند است، زیرا فرآیند پمپ کردن فقط برای مایع صورت می‌گیرد. این نتیجه از این واقعیت بدست می‌آید که برای یک فرآیند بازگشت پذیر جریان پایدار که در آن از تغییرات انرژی جنبشی و پتانسیل صرف نظر شده باشد، کار برابر با dP است و حجم مخصوص مایع بسیار کمتر از حجم مخصوص بخار می‌باشد. از طرف دیگر، باید یک منبع با درجه حرارت نسبتاً بالا (100 تا 200°C) در دسترس باشد. تعداد تجهیزات سیستم جذبی بیشتر از تعداد تجهیزات سیستم تراکم بخار است و معمولاً این سیستم فقط زمانی می‌تواند مقرر باشد که یک منبع مناسب حرارت جهت استفاده در سیستم جذبی باشد به طوری که در صورت عدم استفاده، این حرارت به هدر می‌رود. در سالهای اخیر توجه روزافزونی به بکارگیری سیکل جذبی با استفاده از سایر منابع انرژی (از قبیل انرژی خورشیدی یا انرژی زمین گرمایی) معطوف گردیده است.

سیکل جذبی این اصل مهم را اثبات می‌کند که یک فرآیند تراکم می‌تواند با کوچکترین حجم مخصوص ممکن، صورت گیرد زیرا در یک فرآیند بازگشت پذیر جریان پایدار که در آن از تغییرات انرژی جنبشی و پتانسیل صرف نظر شده باشد، کار برابر با dP است.

خلاصه

سیکل تولید نیروی استاندارد و سیکل تبرید استاندارد برای سیالاتی هستند که در طی سیکل با تغییر فاز مواجه می‌شود. سیکل رنکین و گونه‌های مختلف آن نشان‌دهنده نیروگاه بخاری هستند که بخش عمدۀ ای از الکتریسیته جهان را تأمین می‌کنند. حرارت ورودی به آن از احتراق سوخت‌های فسیلی راکتور هسته‌ای، تشعشع خورشیدی یا دیگر منابع حرارتی که بتواند درجه حرارت بالای لازم برای جوشش آب را فراهم کند، تأمین می‌شود. در کاربردهای درجه حرارت پایین یا خیلی بالا، سیالات عامل دیگر به جز آب می‌تواند مورد استفاده قرار گیرد. اصلاحات سیکل اولیه نظری استفاده از گرمایش مجدد، آب تغذیه باز و بسته همراه با کاربردهای مختلف و سیکل‌های تولید همزمان مورد استفاده قرار می‌گیرند.

سیستم‌های تبرید استاندارد شامل تبرید تراکم - بخار، پمپ‌های حرارتی و تأسیسات کاربرد ویژه گسترده درجه حرارت پایین است. به عنوان یک حالت ویژه، سیکل جذبی آمونیاک توضیح داده شد.

- در رابطه با ترکیب سیکل‌ها به بخش (۱۲-۱۲) مراجعه کنید. اکنون شما باید مهارت‌هایی را کسب کرده و دارای توانایی‌هایی پس از مطالعه این فصل شده باشید که به شما اجازه دهد:
- قوانین عمومی را برای حجم‌های کنترل همراه با وسائل مختلف تشکیل‌دهنده سیستم کامل به کار ببرید.
- بدانید وسائل تولید نیروی رایج چگونه کار می‌کنند.
- بدانید پمپ حرارتی و یخچال‌های ساده چگونه کار می‌کنند.
- بدانید هیچ سیکلی در سیکل کارنو کار نمی‌کند.
- بدانید که تجهیزات واقعی دارای راندمان COP کمتر از سیکل‌های ایدآل هستند.
- بدانید که اغلب پارامترهای تأثیرگذار در هر نوع سیکل چه هستند.
- در ک کنید که اهمیت کارایی اجزا برای کارایی کل سیکل یا COP چیست؟
- بدانید که اغلب سیکل‌های واقعی با اصلاحات روی سیکل‌های اولیه حاصل می‌گردند.
- بدانید بسیاری از این تجهیزات روی محیط زیست ما اثر می‌گذارند.